

FIG. 1A

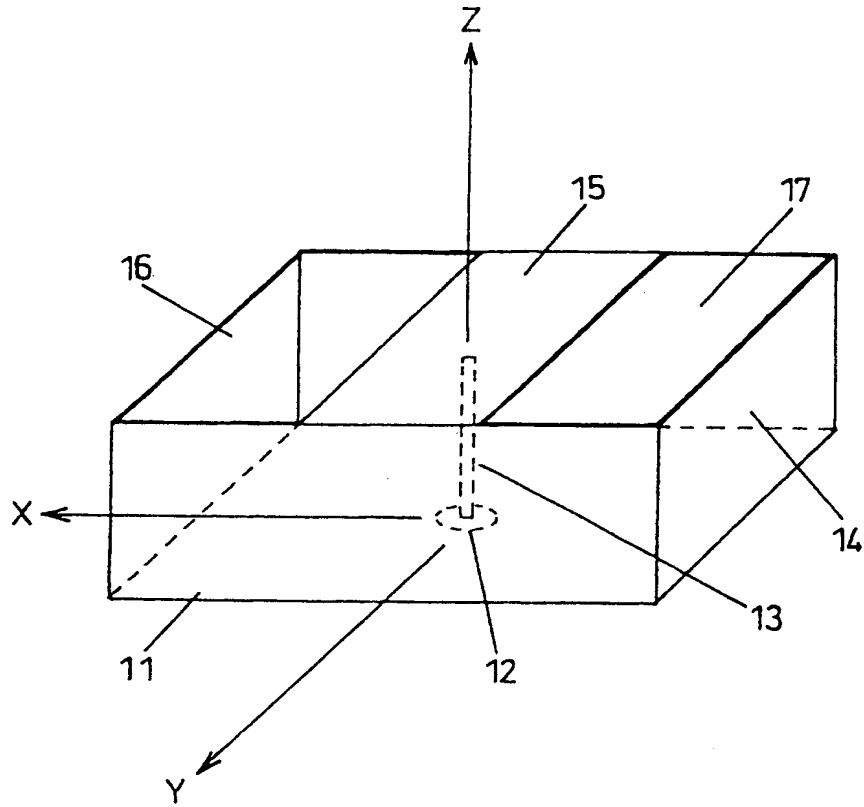
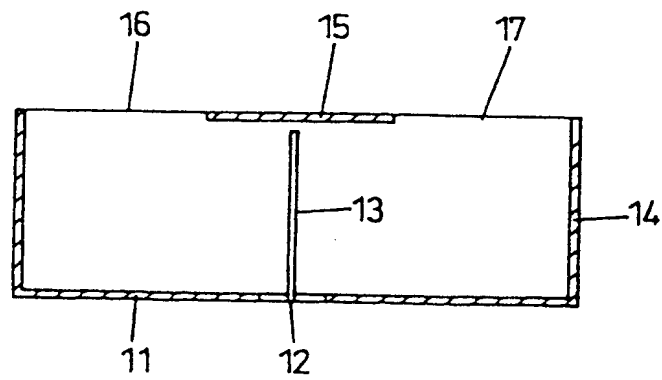
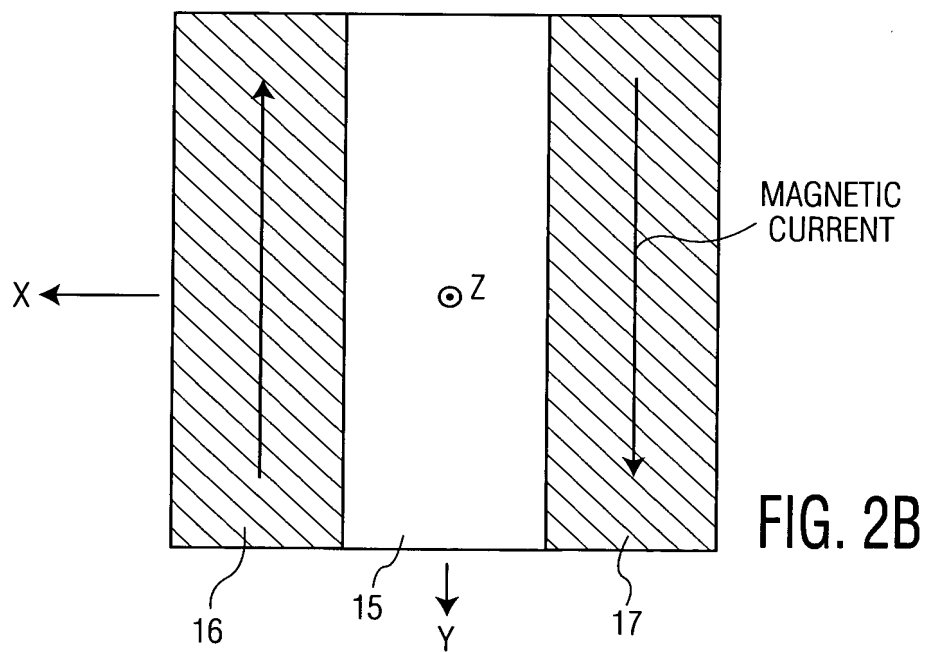
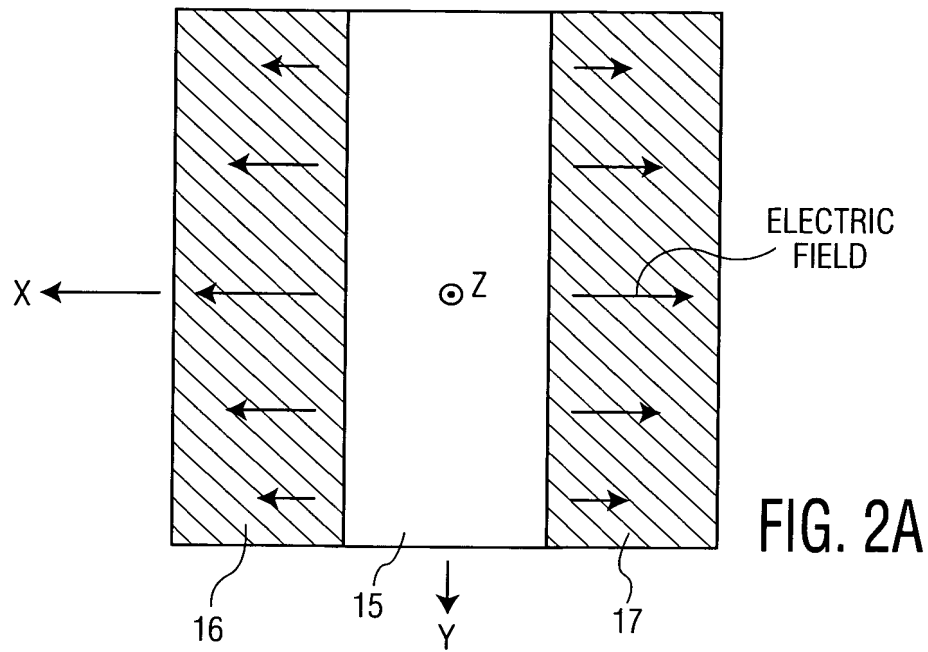


FIG. 1B







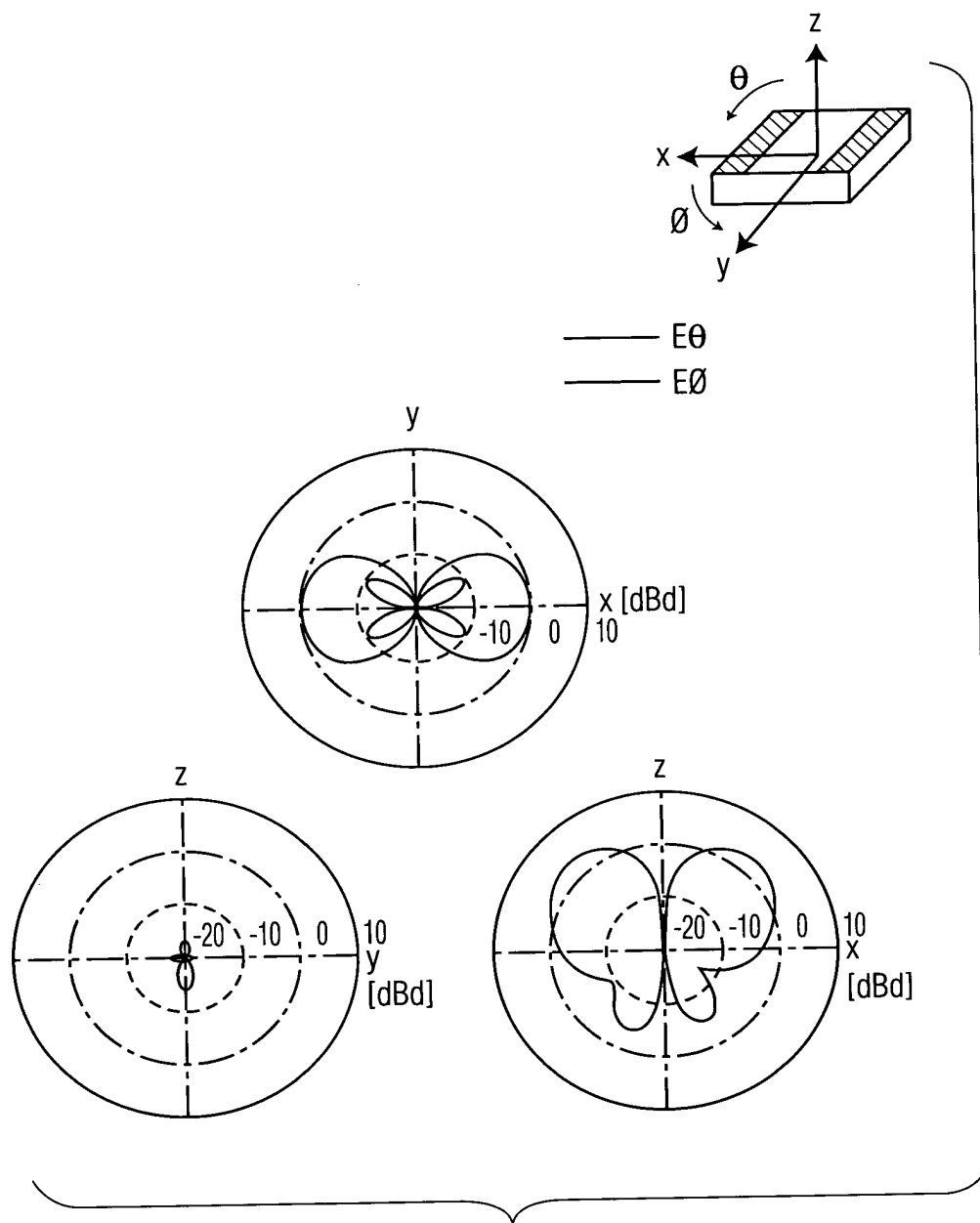
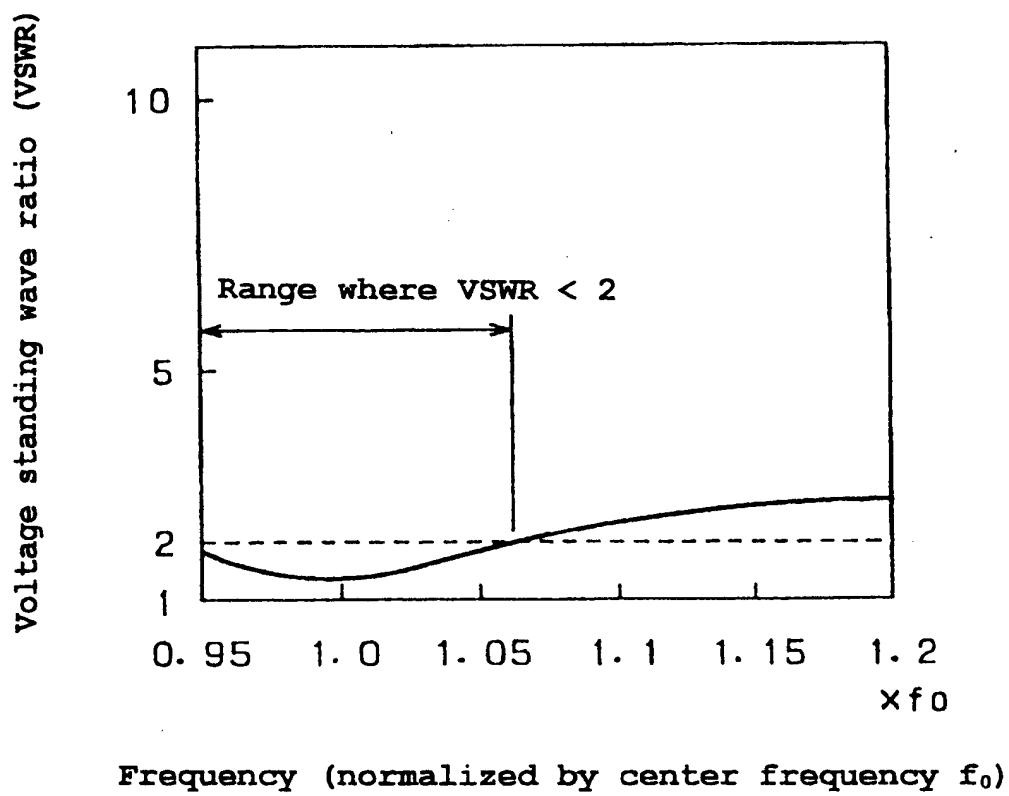


FIG. 4



FIG. 5



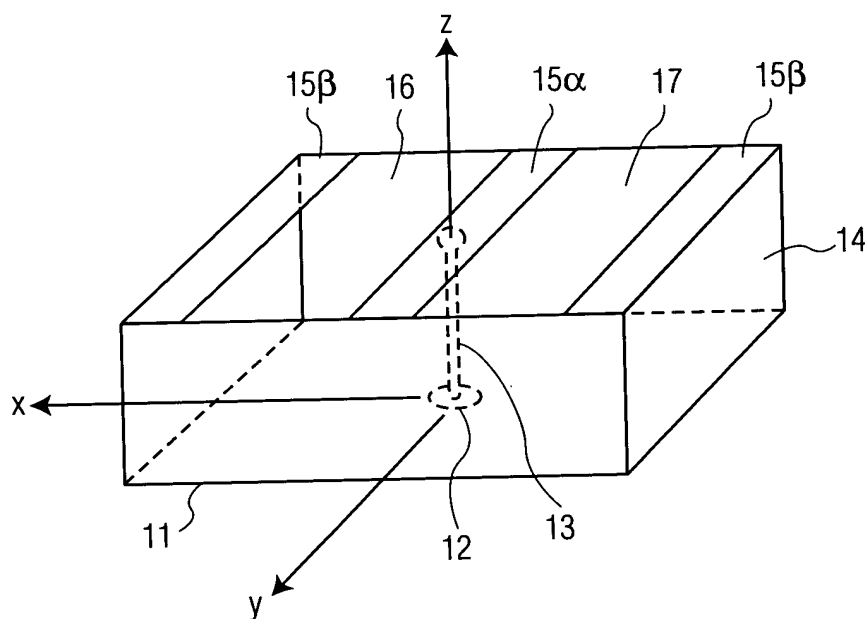


FIG. 6A

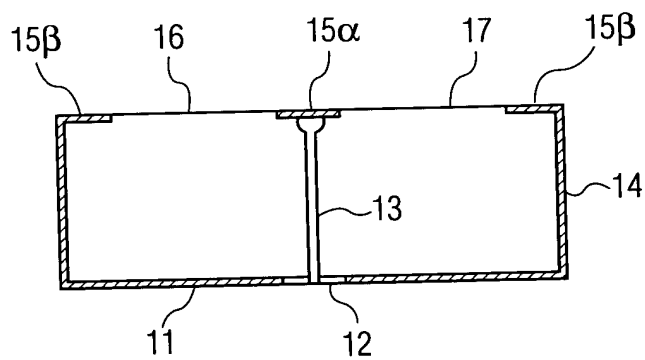
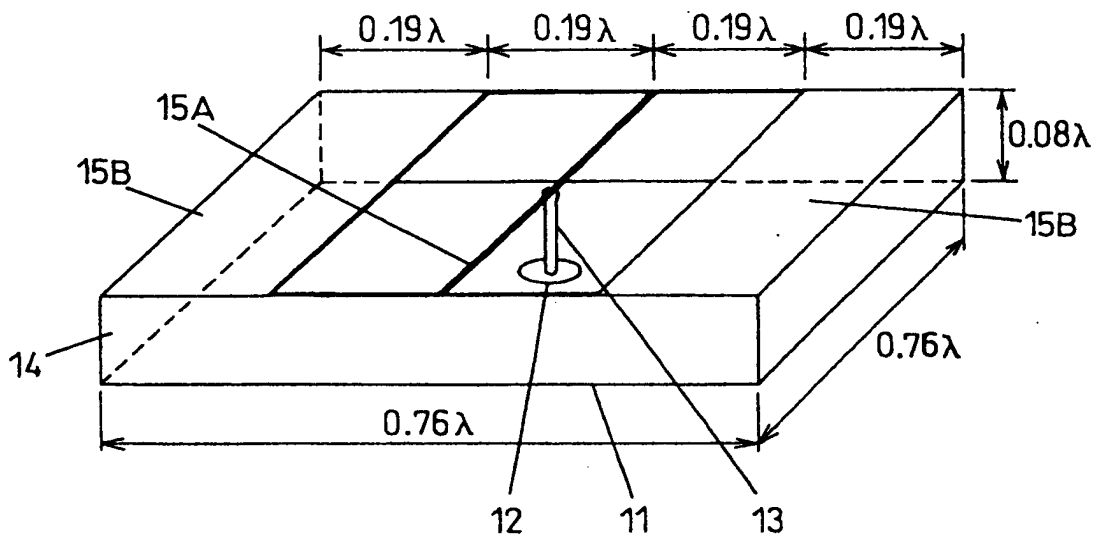
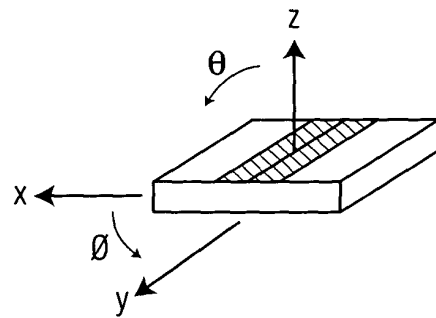


FIG. 6B

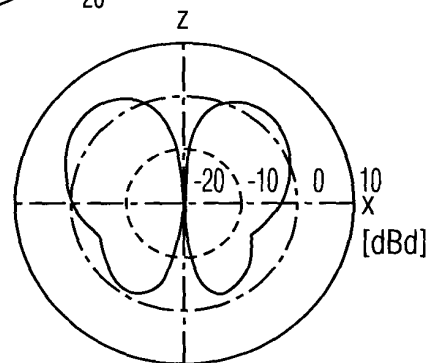
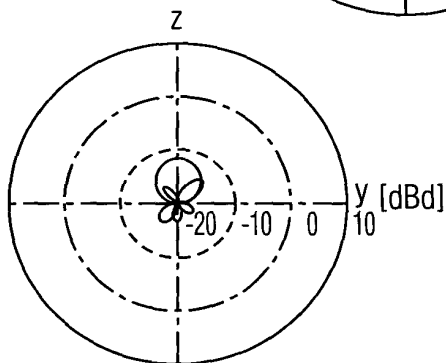
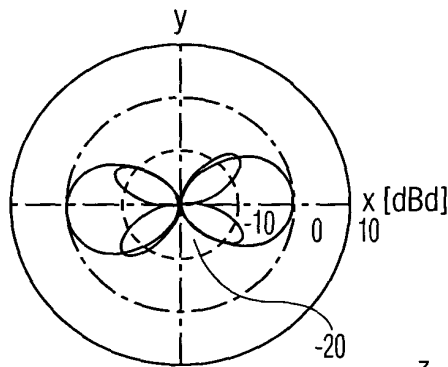
FIG. 7





— $E\theta$
 — $E\phi$

	MRG	PAG	FREQ	FILE
$E\theta$	0.21	-5.17	1930.	22. d
$E\phi$	-5.20	-10.56	1930.	23. d



	MRG	PAG	FREQ	FILE
$E\theta$	-13.80	-17.49	1930.	27. d
$E\phi$	-11.39	-15.56	1930.	26. d

	MRG	PAG	FREQ	FILE
$E\theta$	4.80	0.16	1930.	25. d
$E\phi$	-18.39	-20.13	1930.	24. d

FIG. 8



FIG. 9

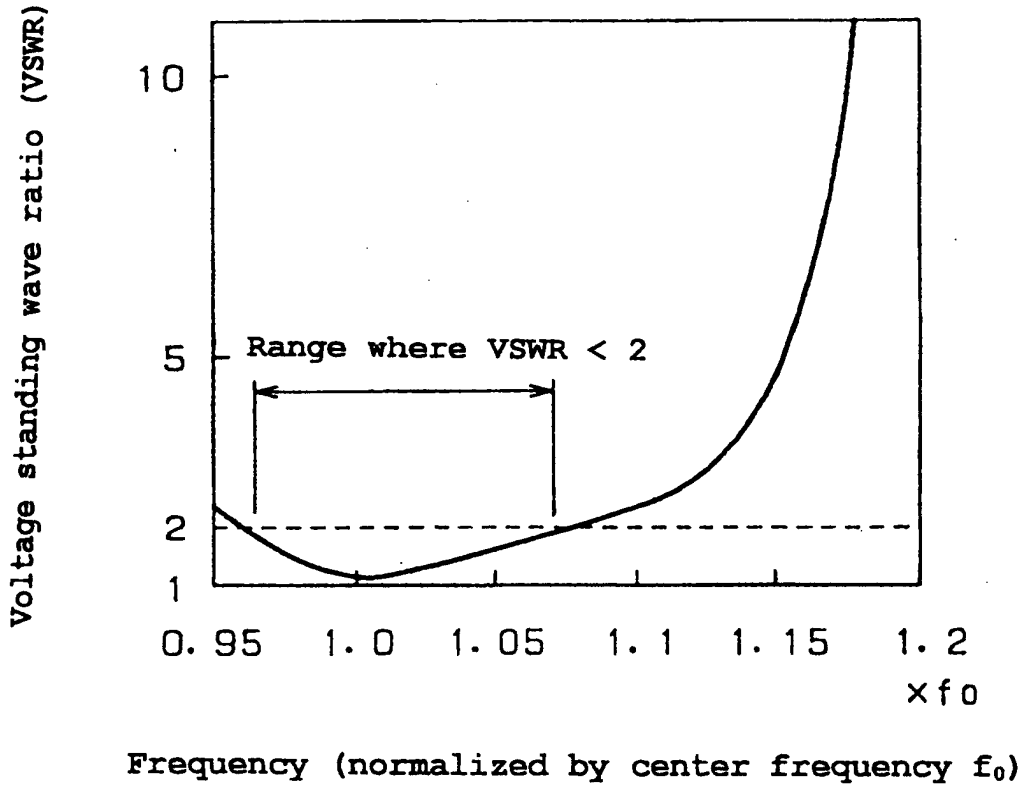


FIG. 10A

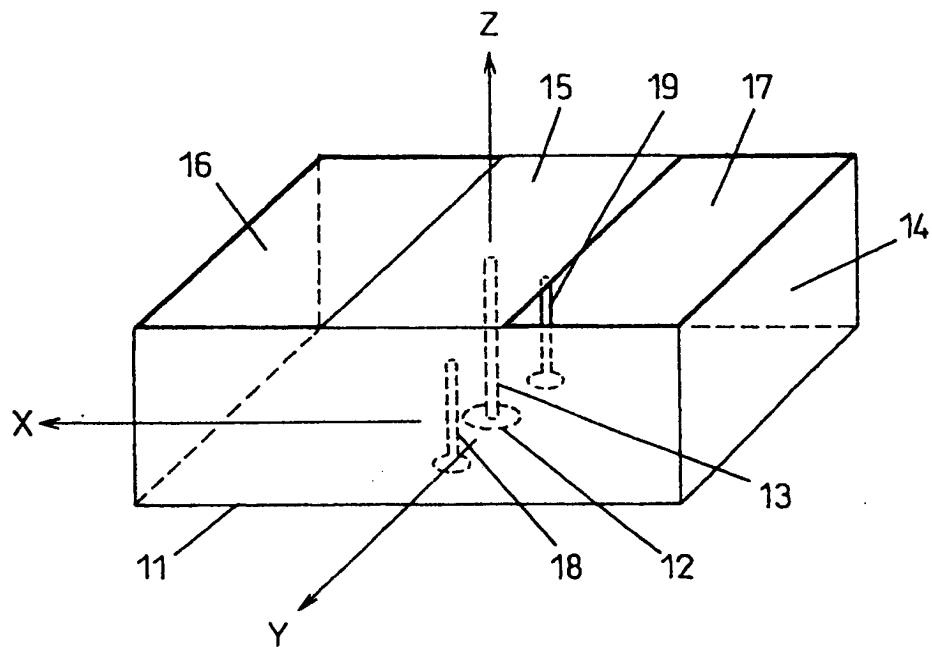


FIG. 10B

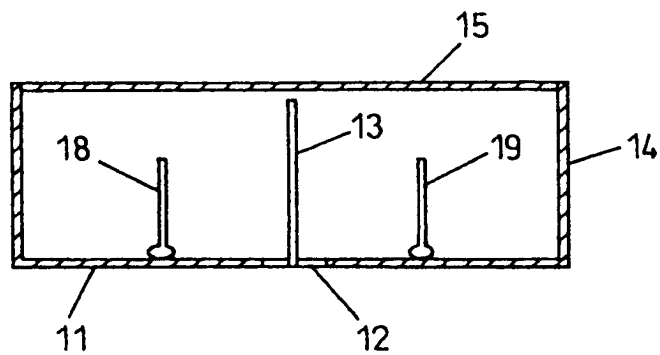


FIG. 11A

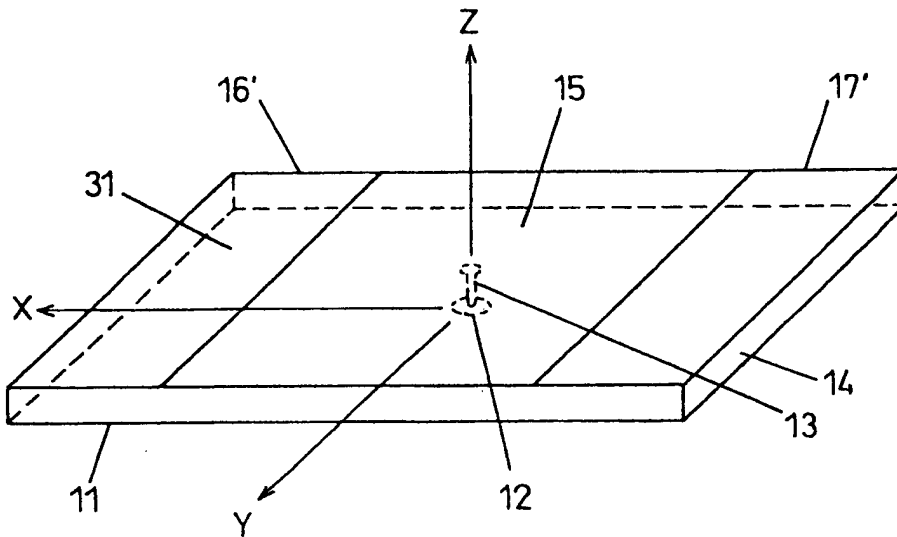
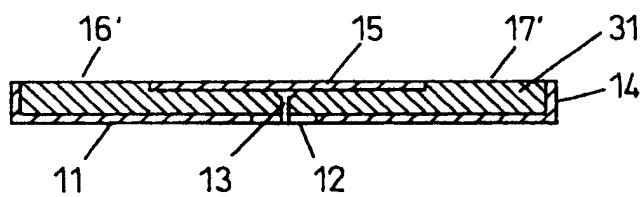


FIG. 11B



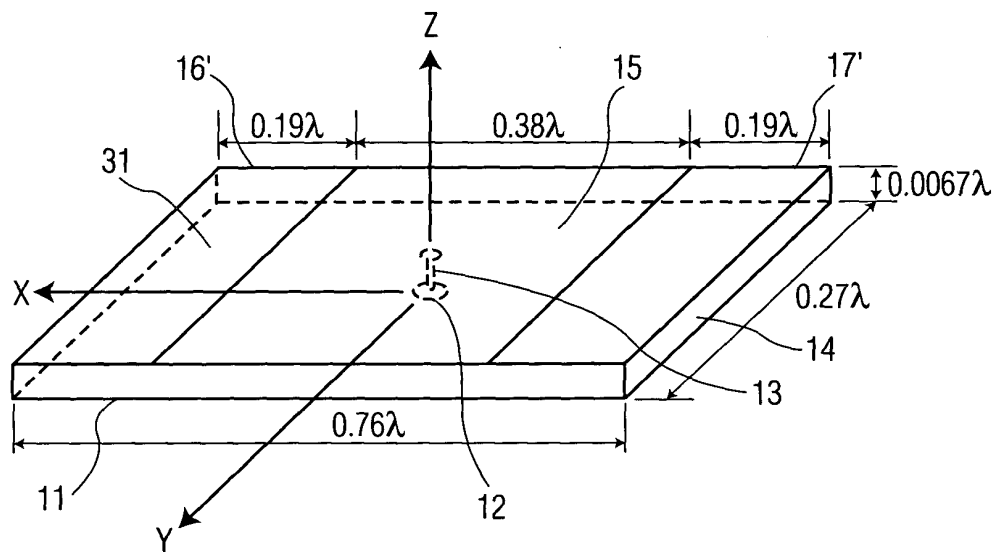


FIG. 12

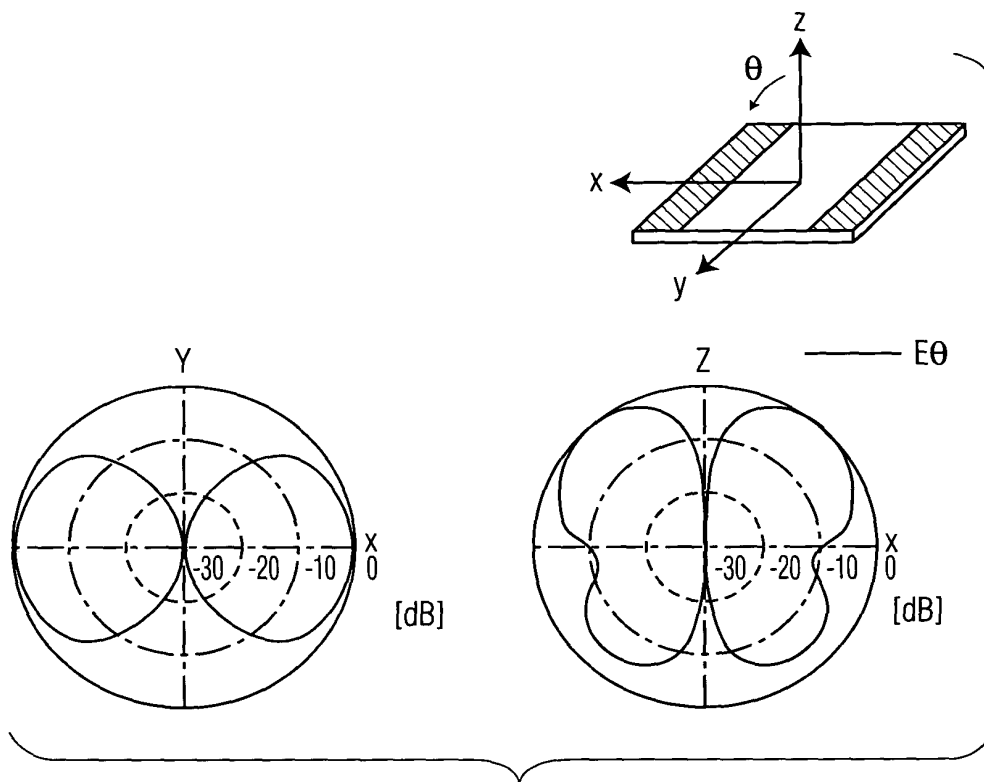


FIG. 13

FIG. 14

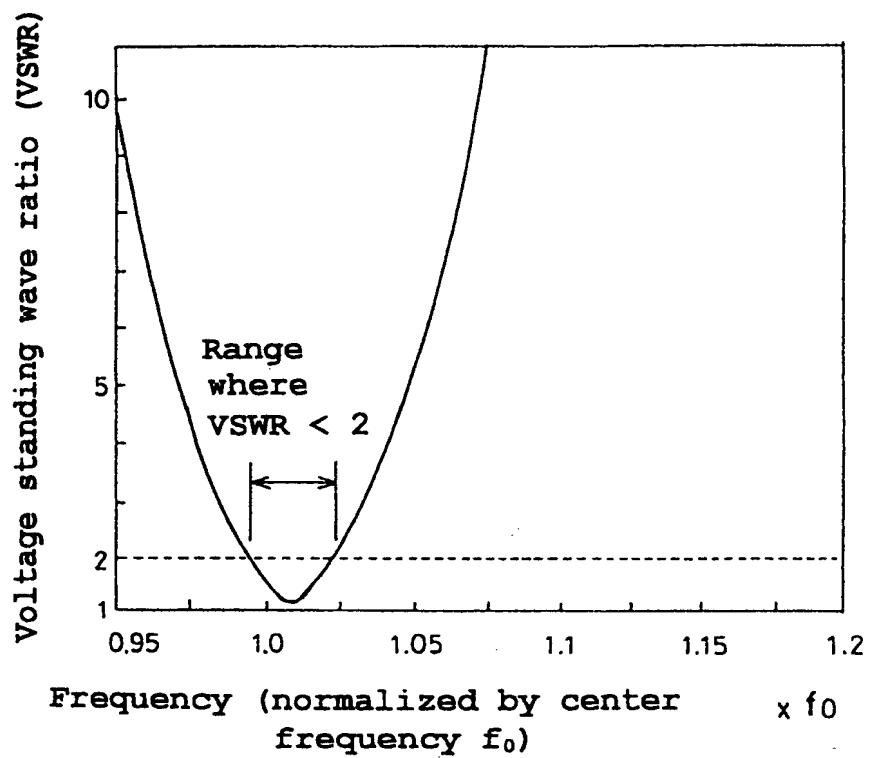


FIG. 15

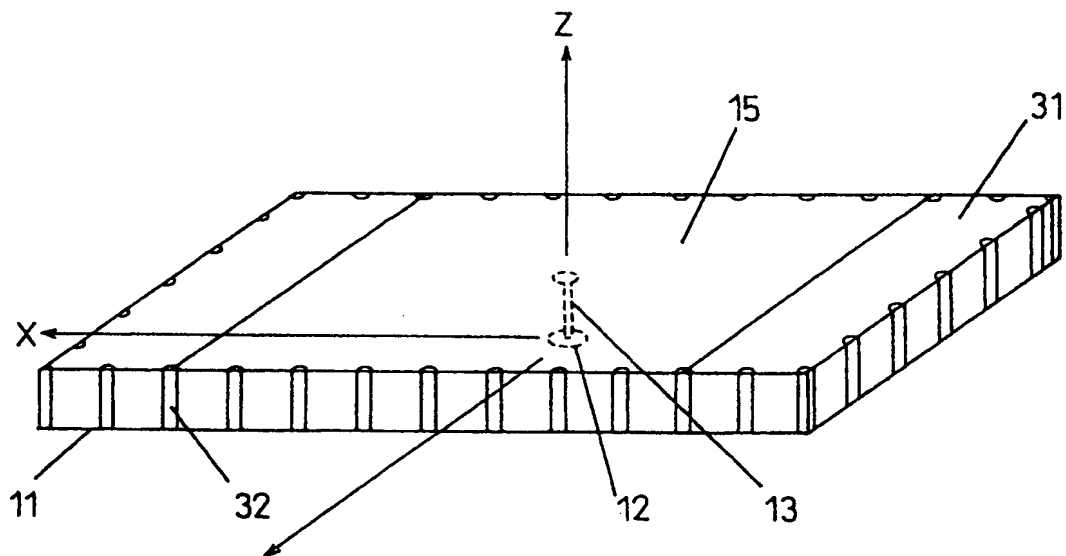


FIG. 16A

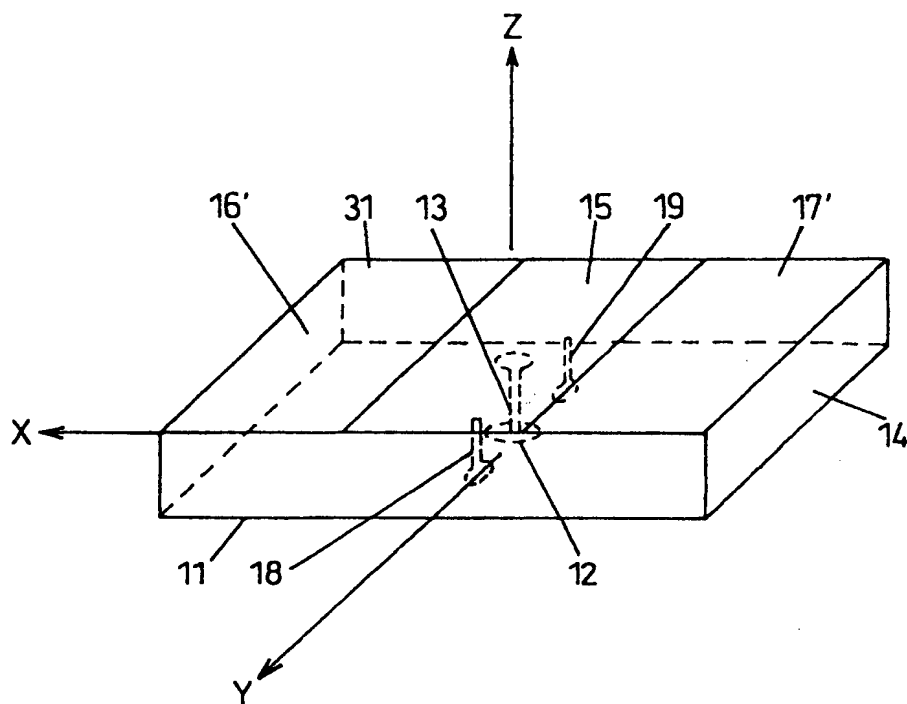


FIG. 16B

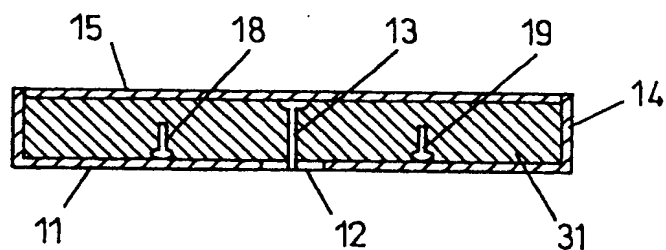


FIG. 17A

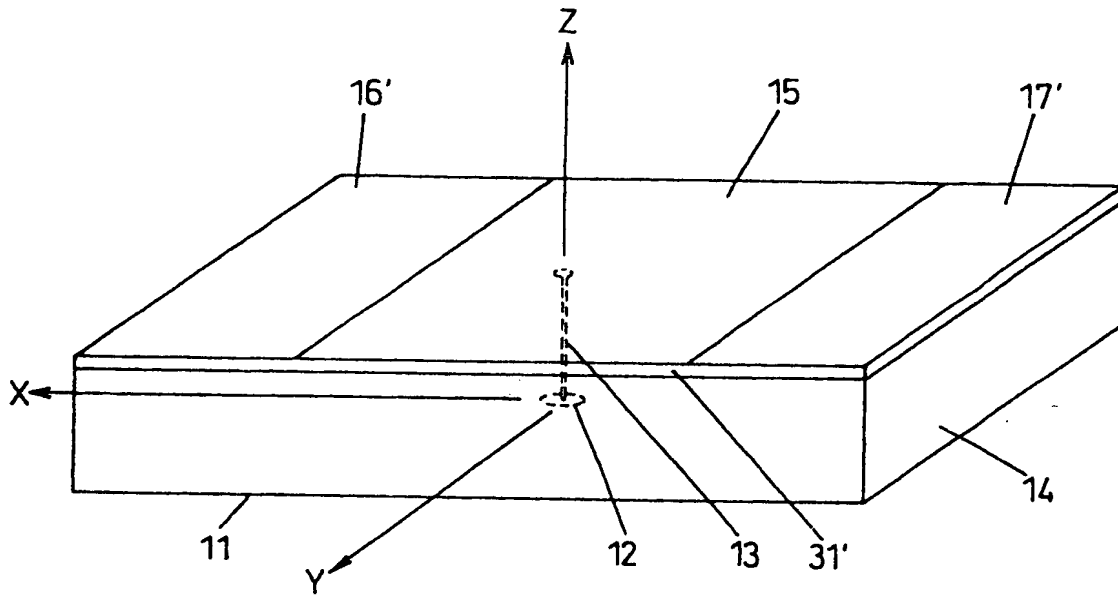
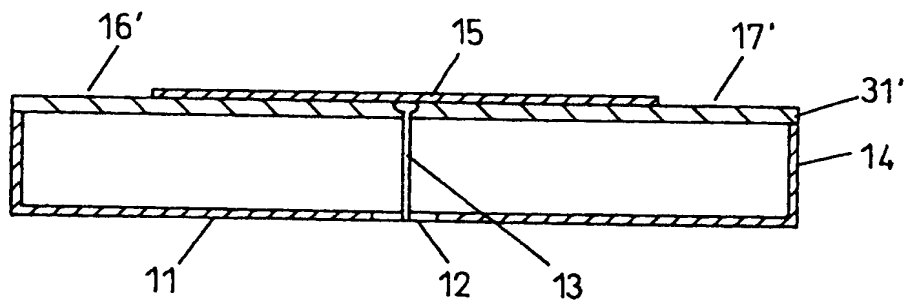
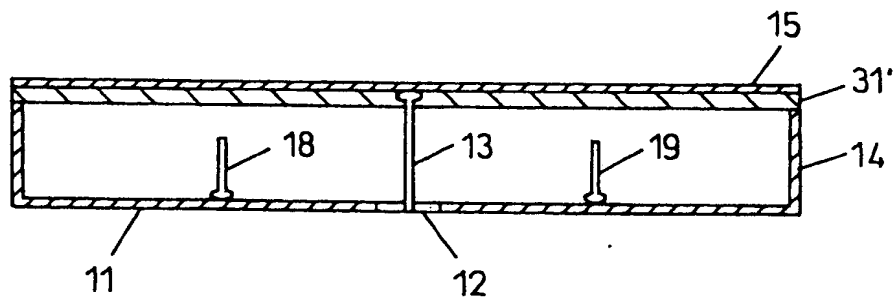
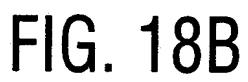
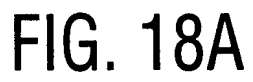


FIG. 17B





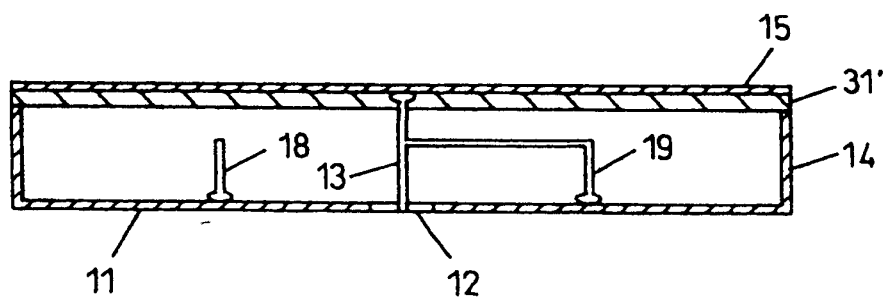
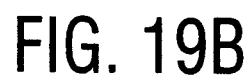
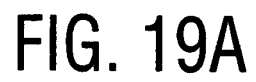




FIG. 20A

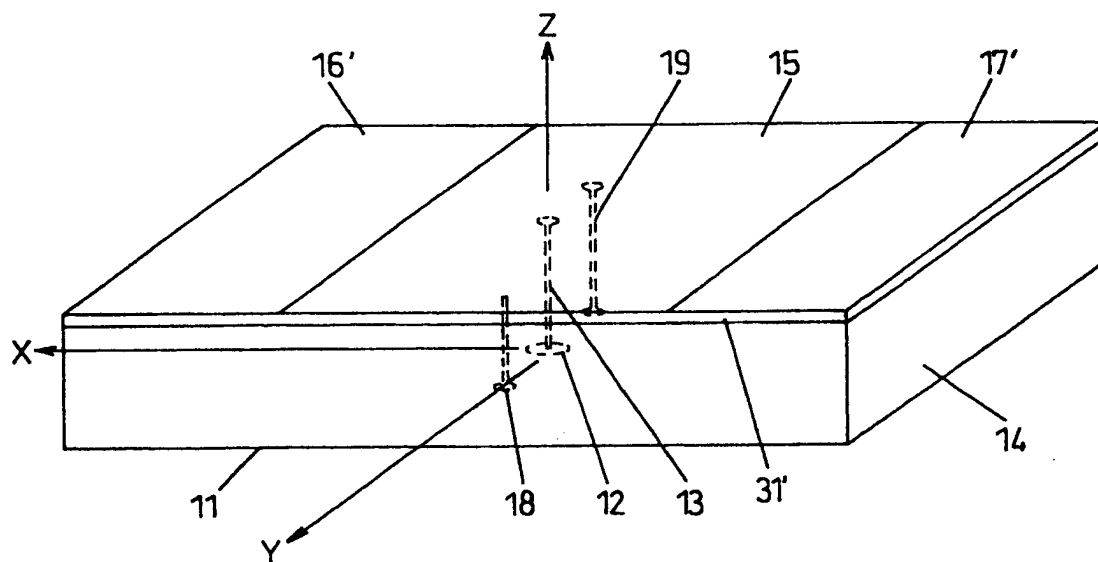
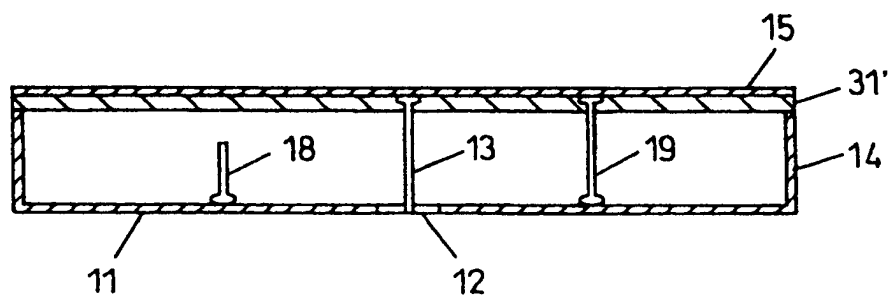


FIG. 20B



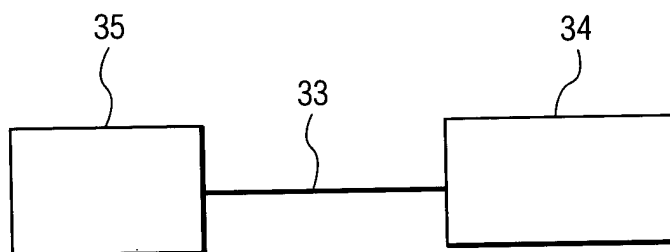


FIG. 21

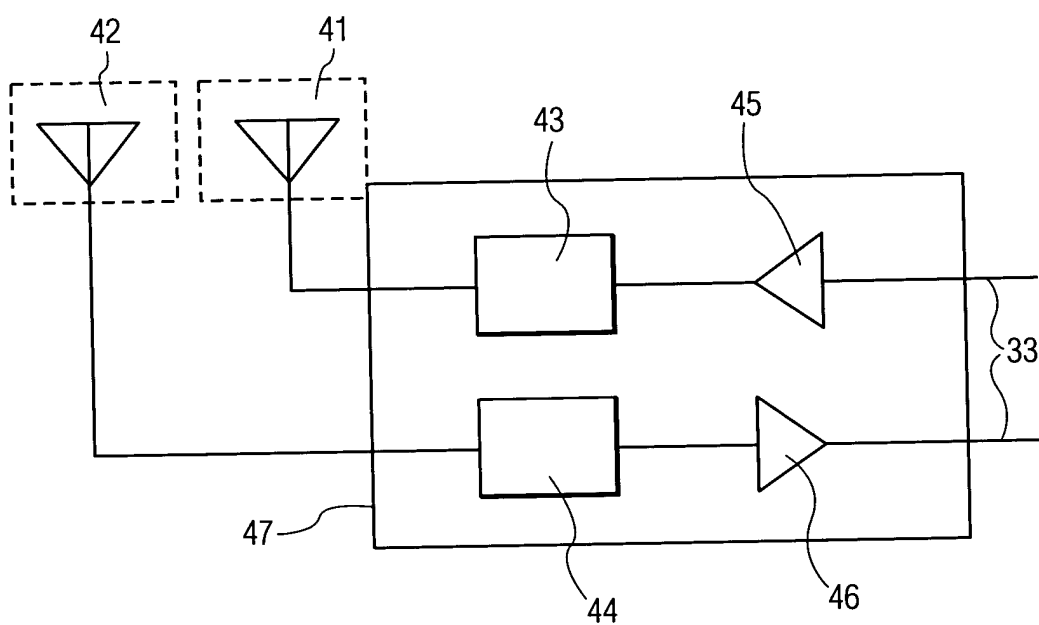
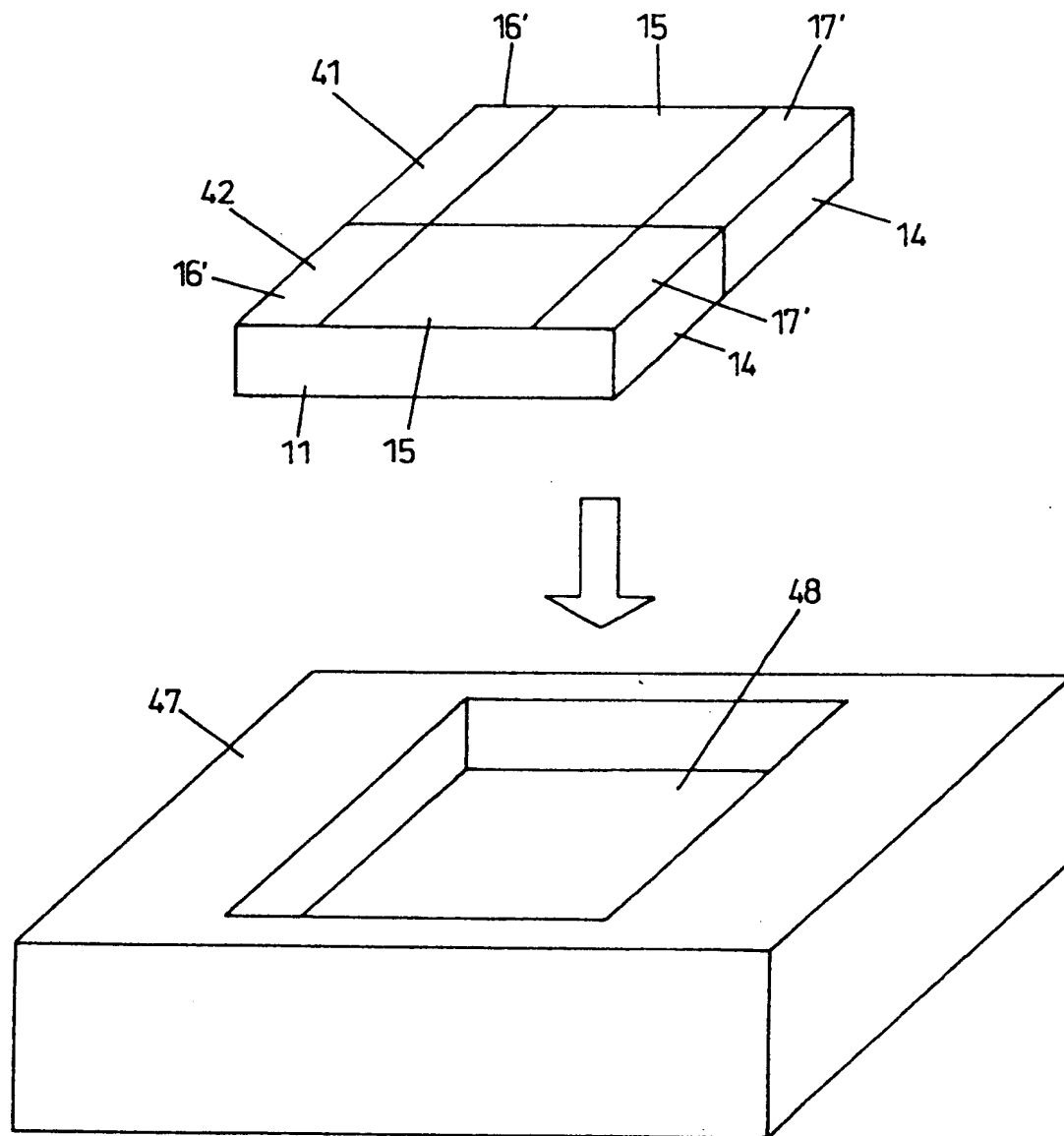


FIG. 22



FIG. 23



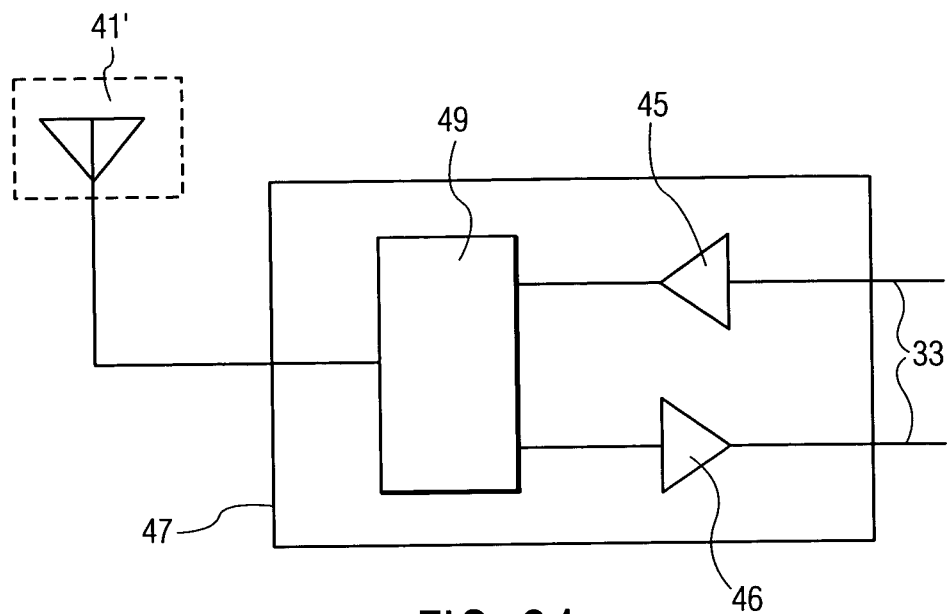


FIG. 24

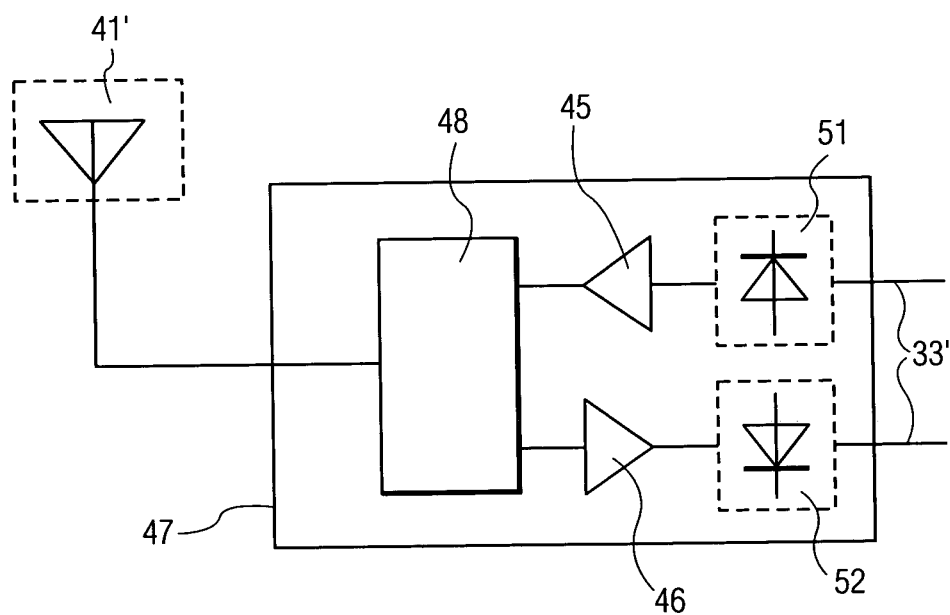


FIG. 25

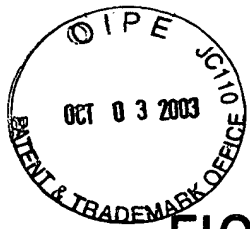


FIG. 26

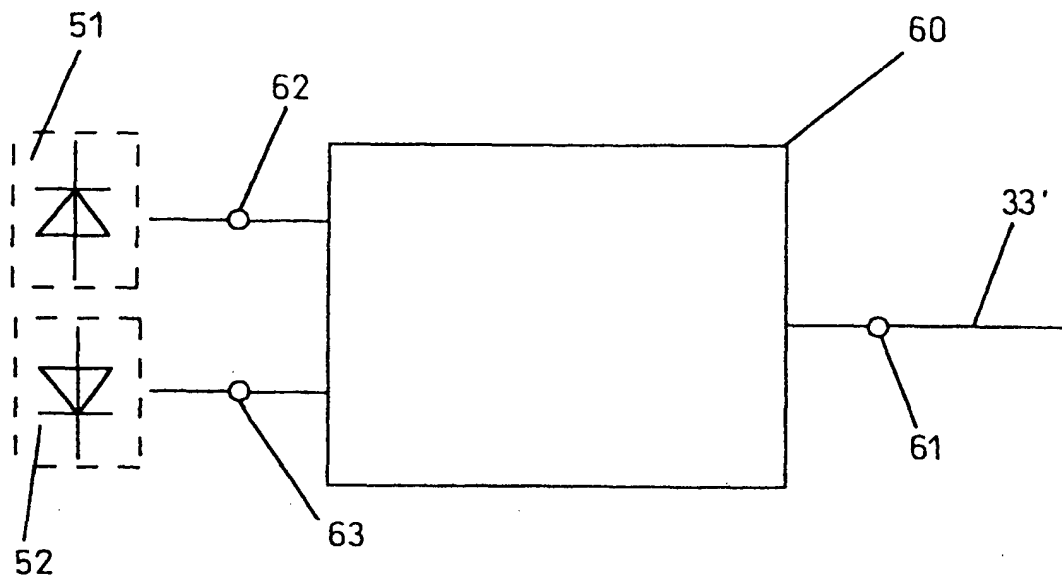


FIG. 27

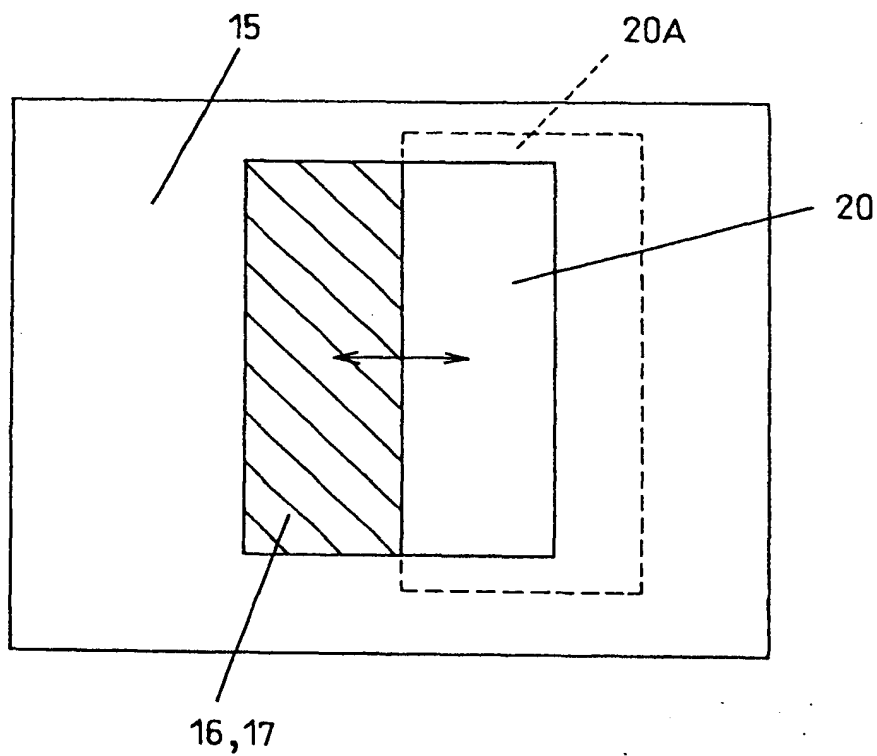


FIG. 28A

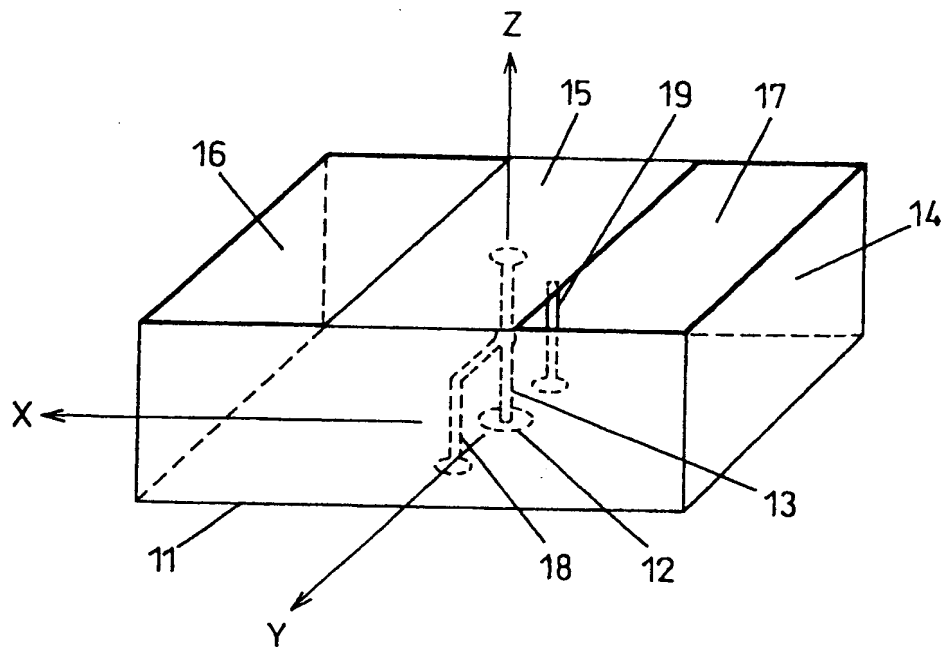


FIG. 28B

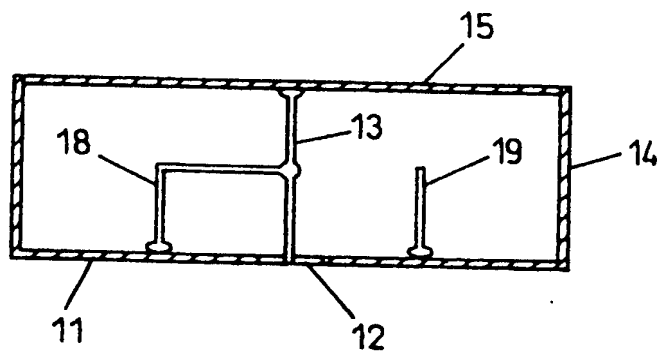


FIG. 29A

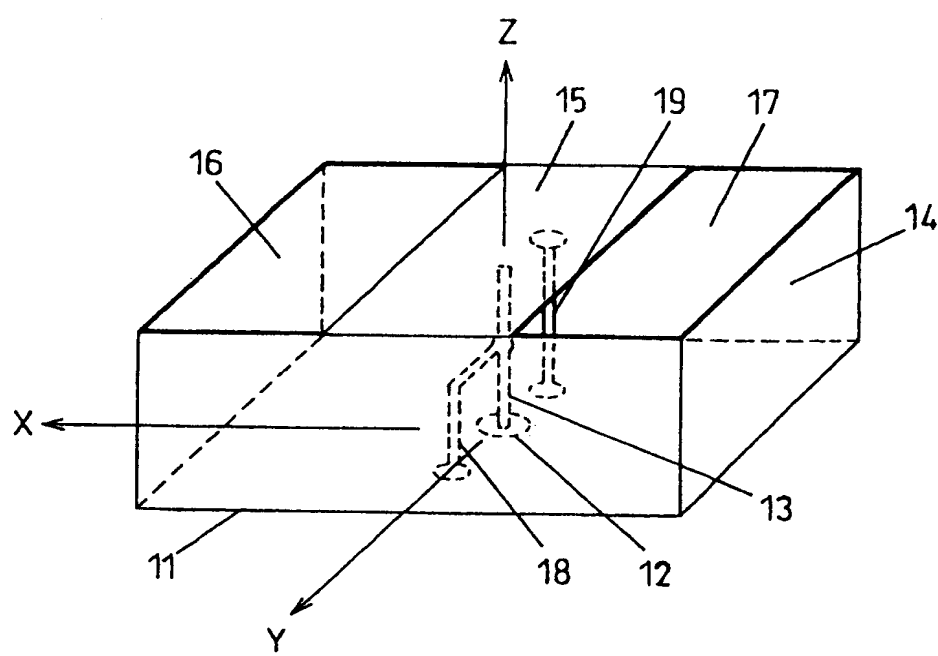
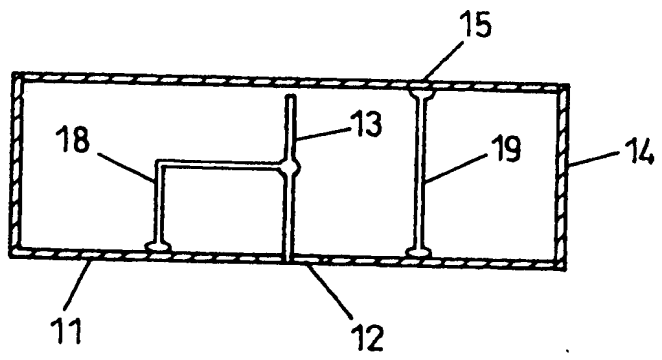


FIG. 29B



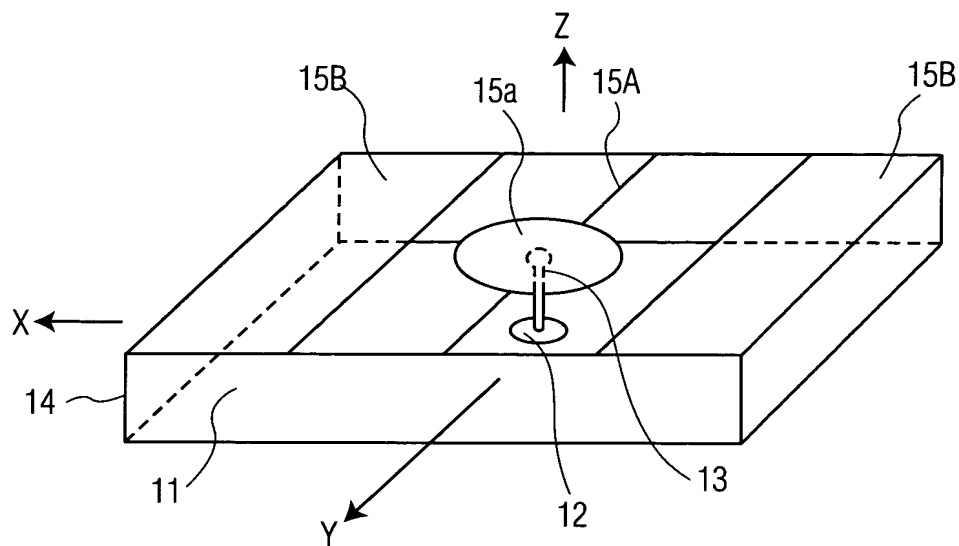


FIG. 30

—•— E_{THETA} , $\text{THETA}=90$ (DEG)

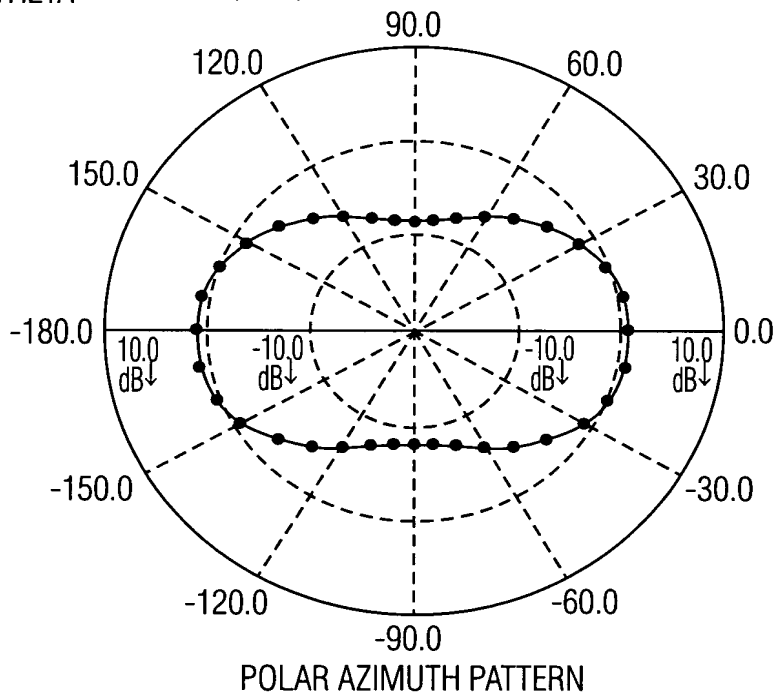


FIG. 31

FIG. 32

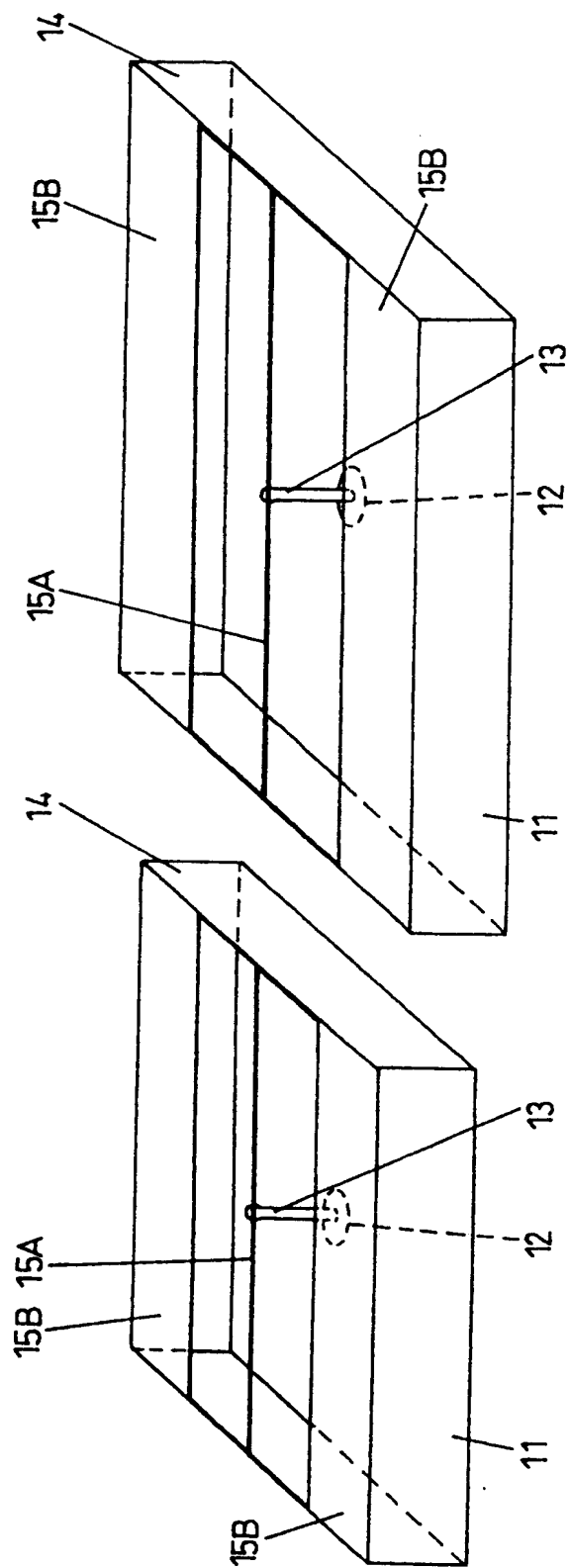


FIG. 33

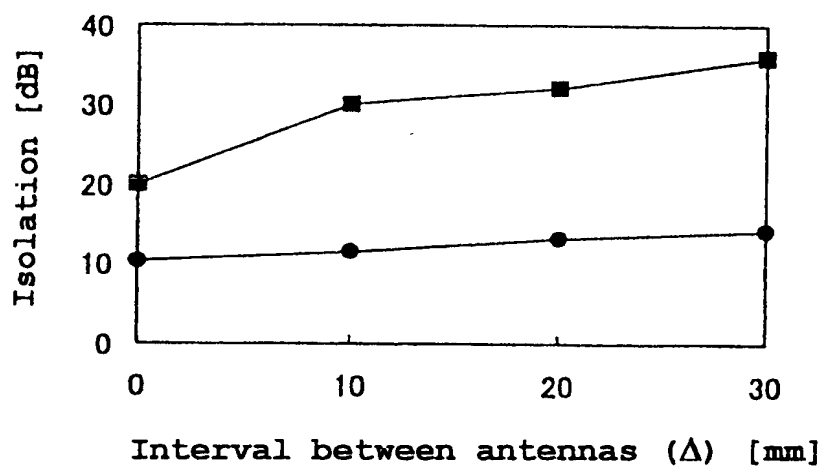


FIG. 34

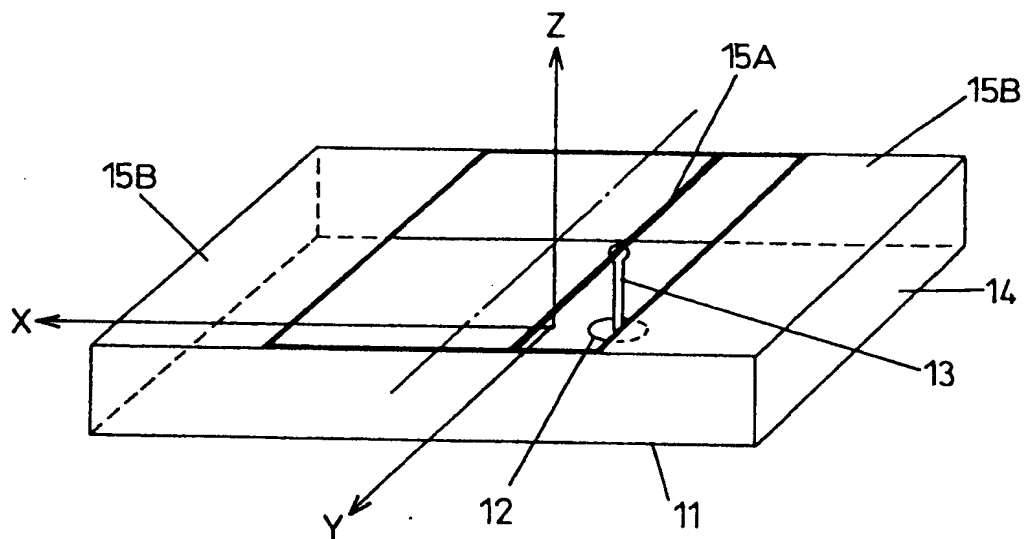


FIG. 35

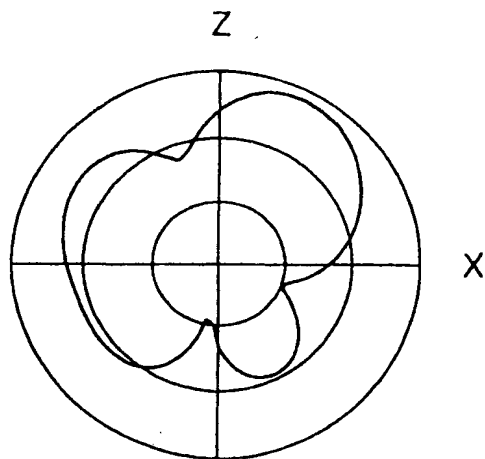
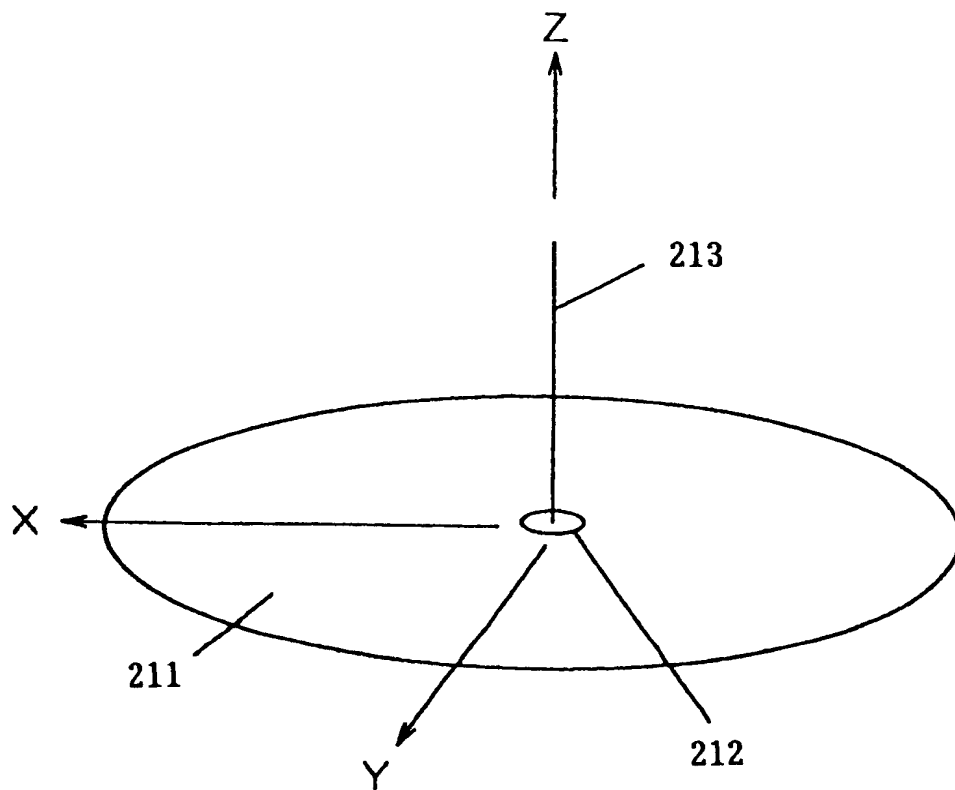


FIG. 36



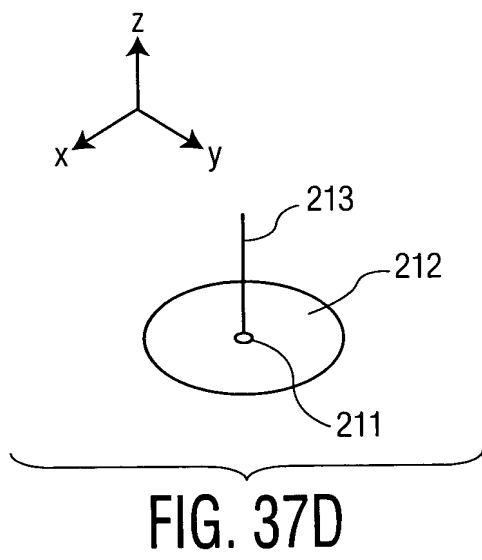
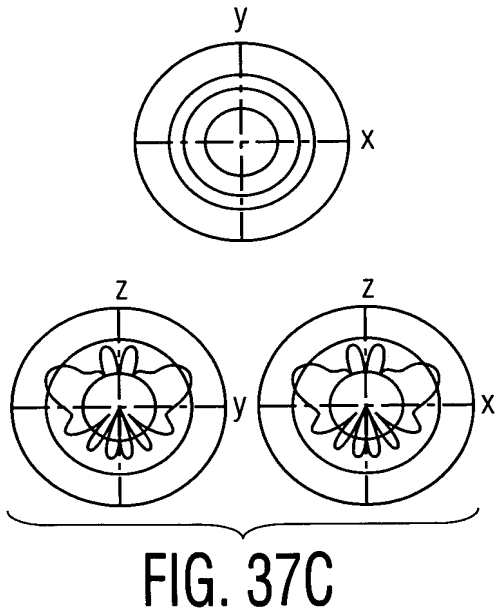
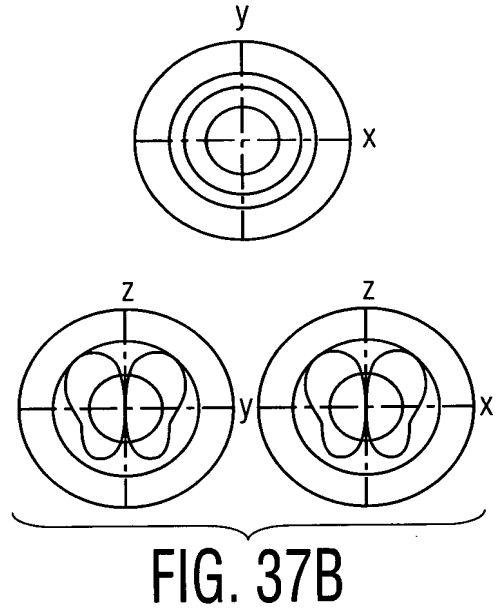
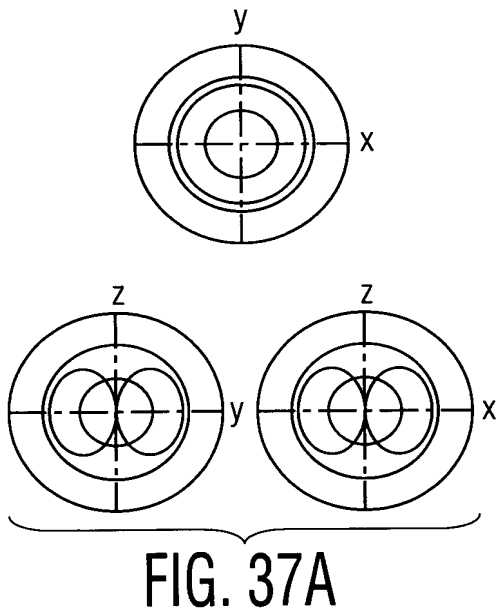
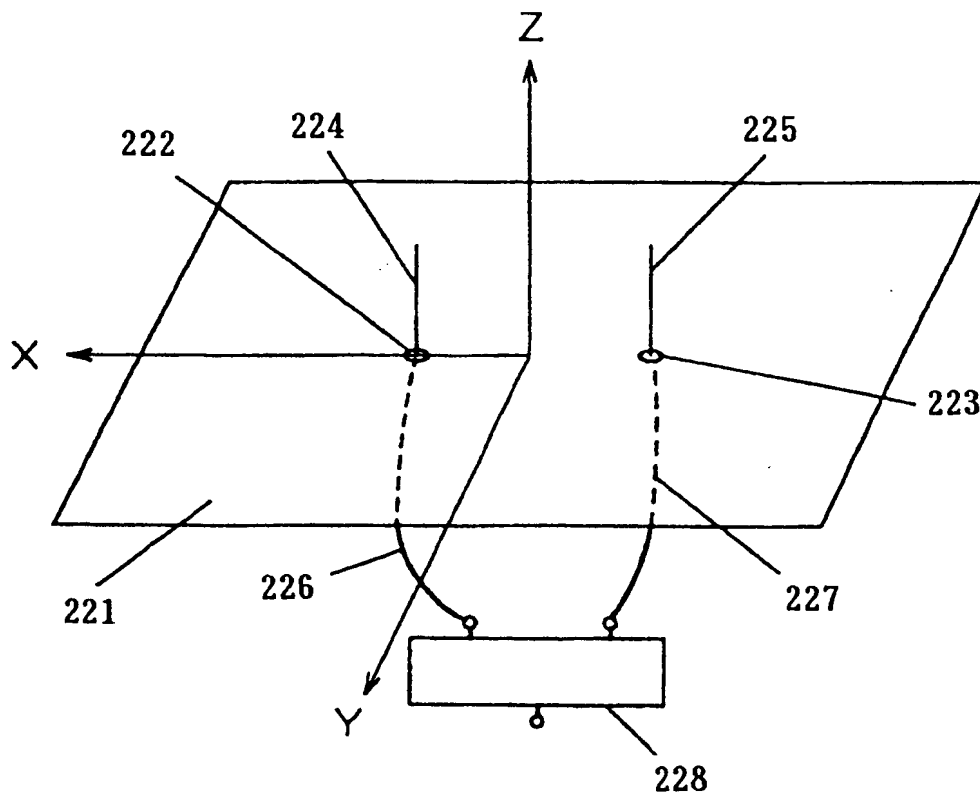




FIG. 38



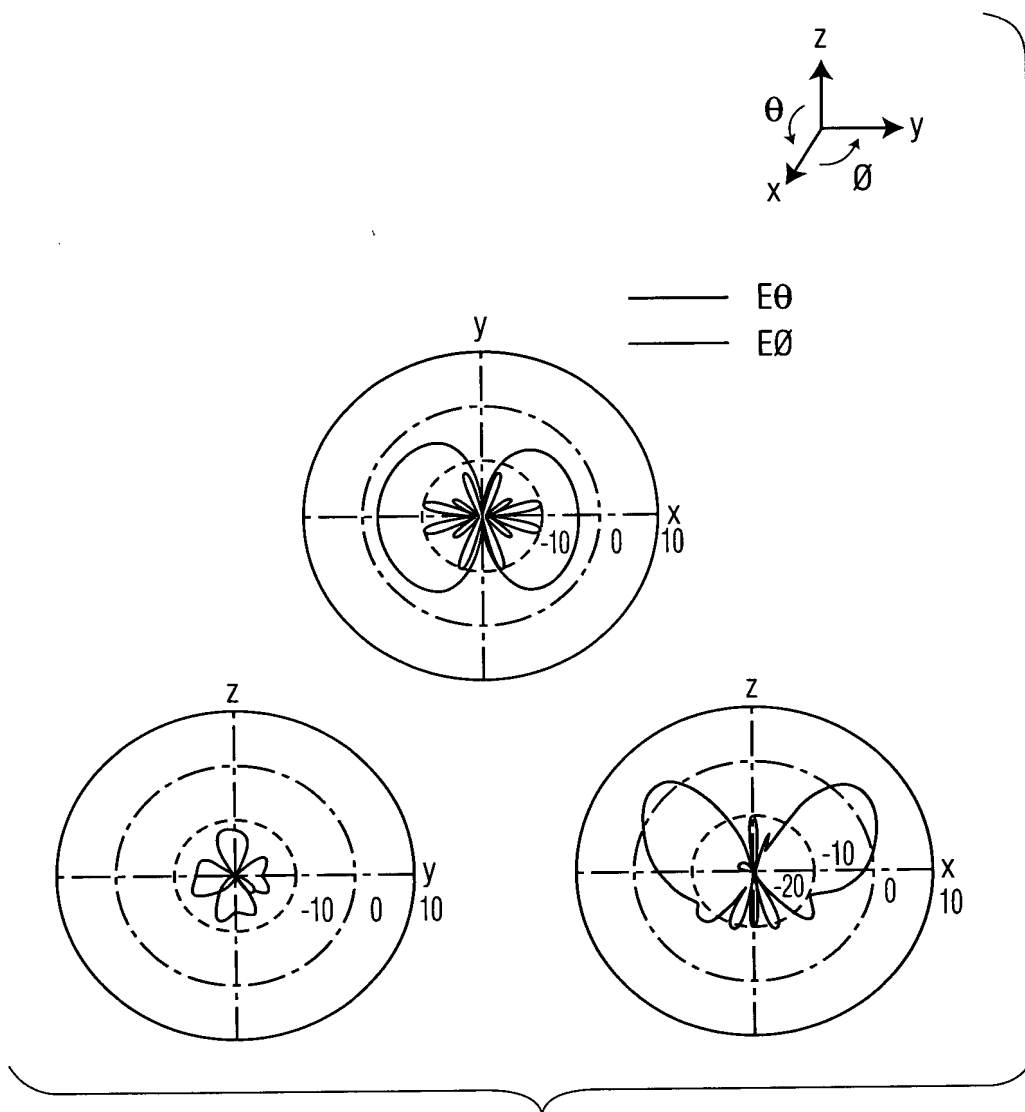


FIG. 39

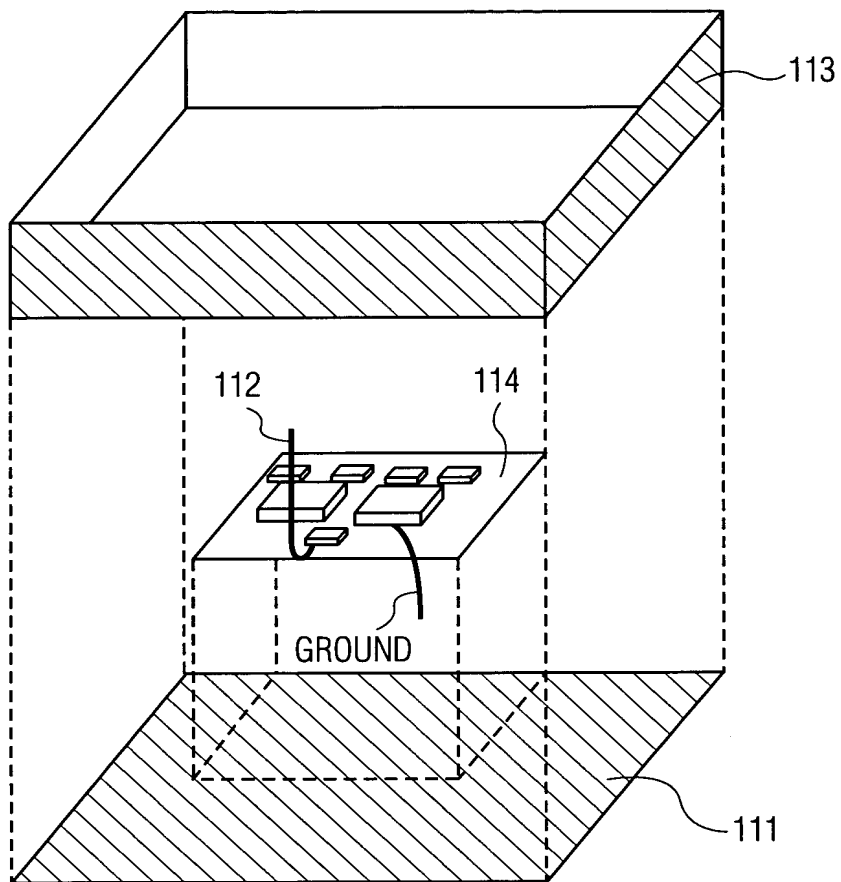


FIG. 40

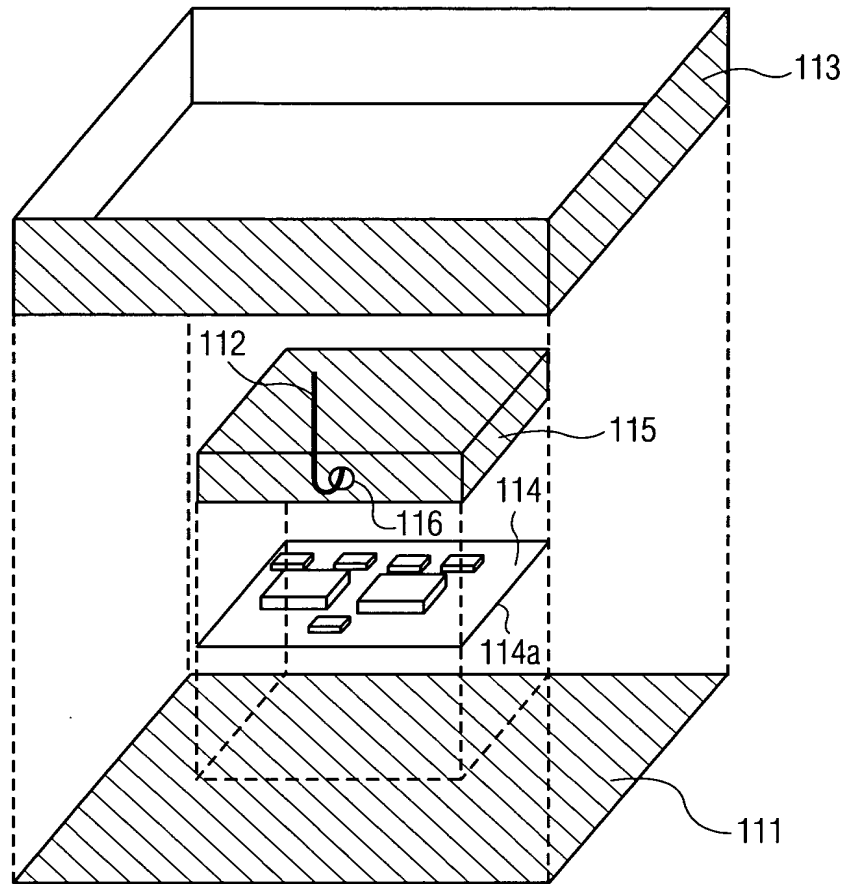


FIG. 41

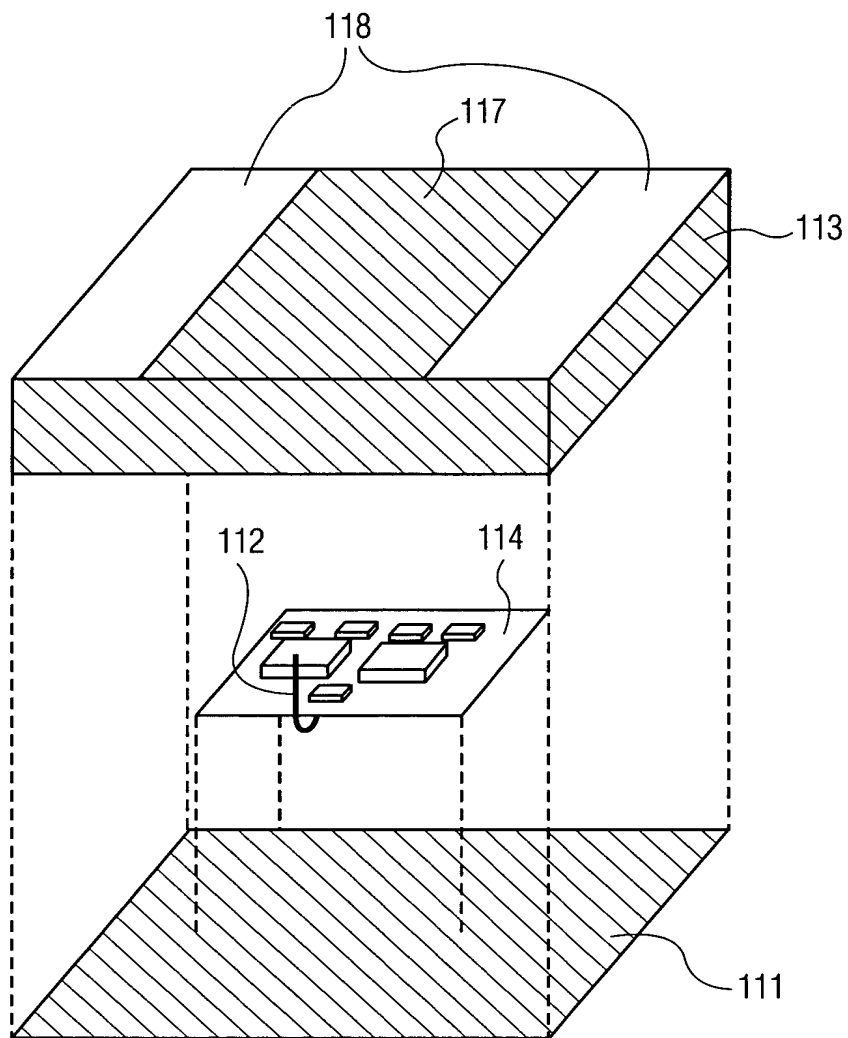


FIG. 42

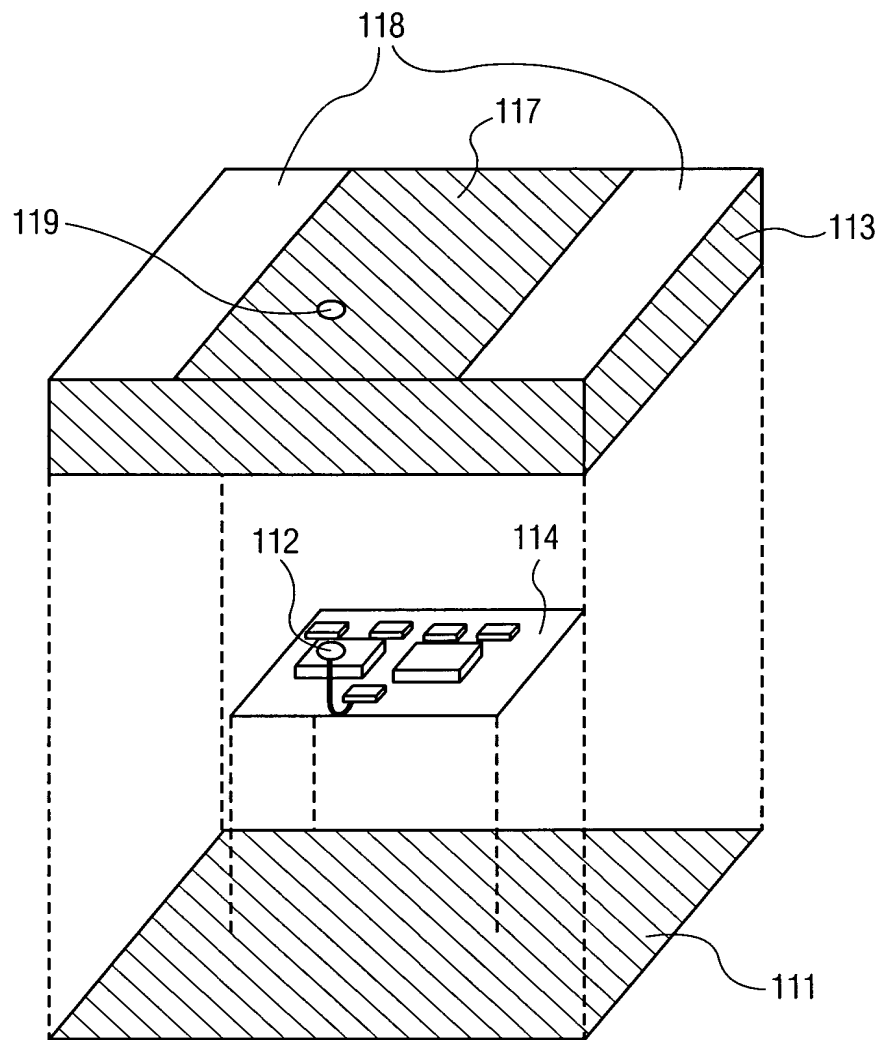


FIG. 43

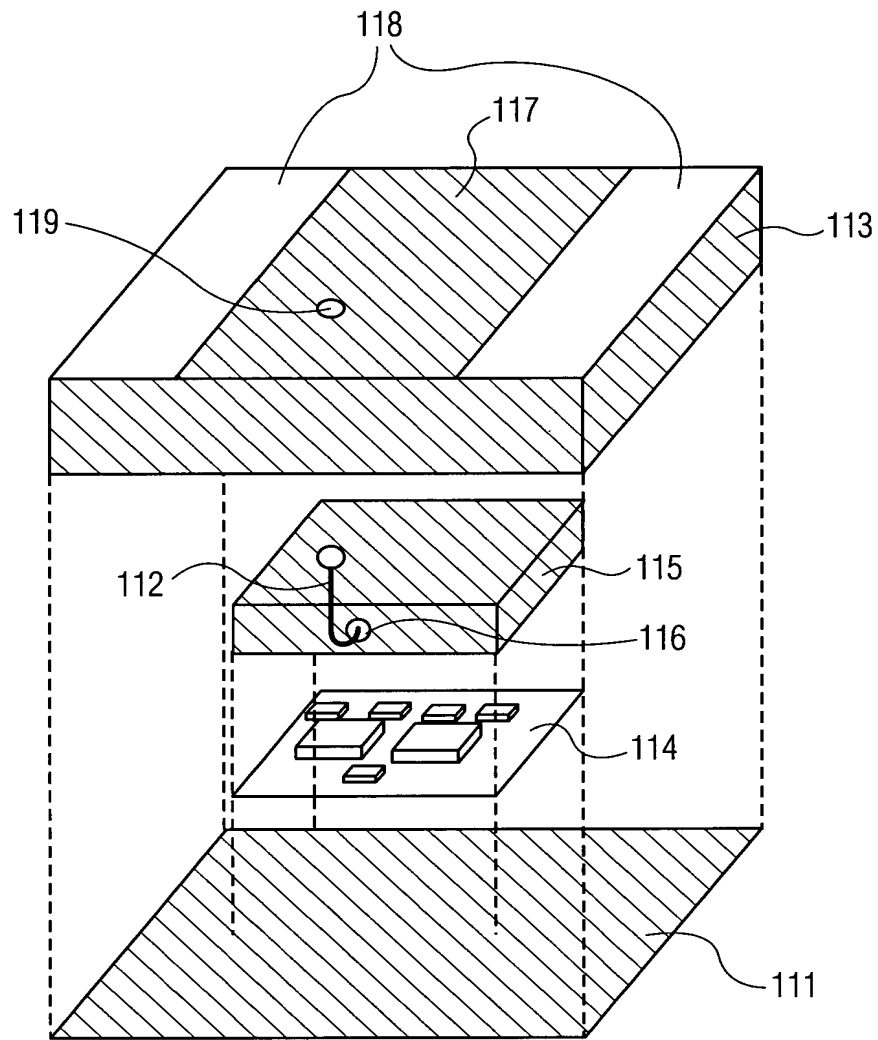


FIG. 44

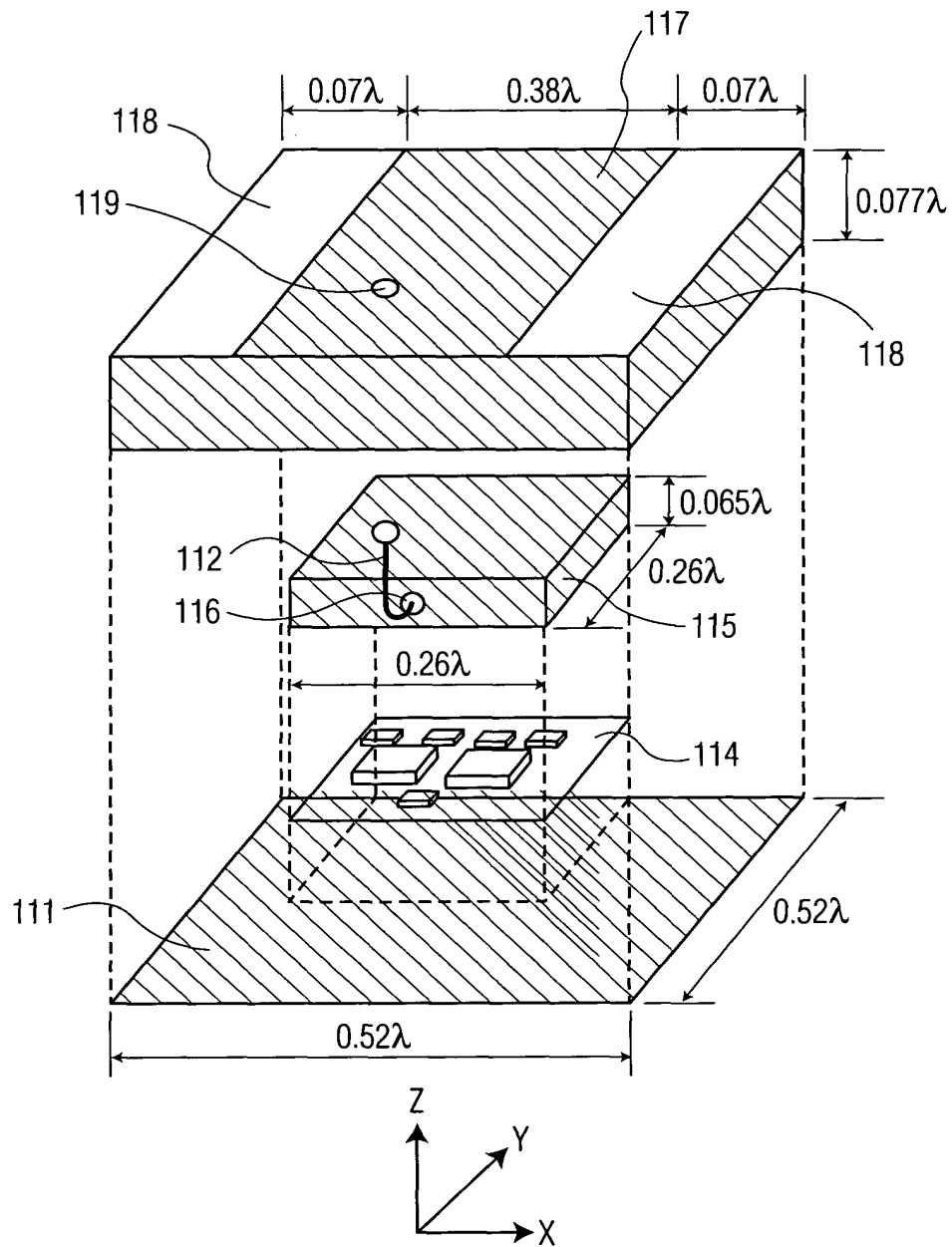


FIG. 45



FIG. 46

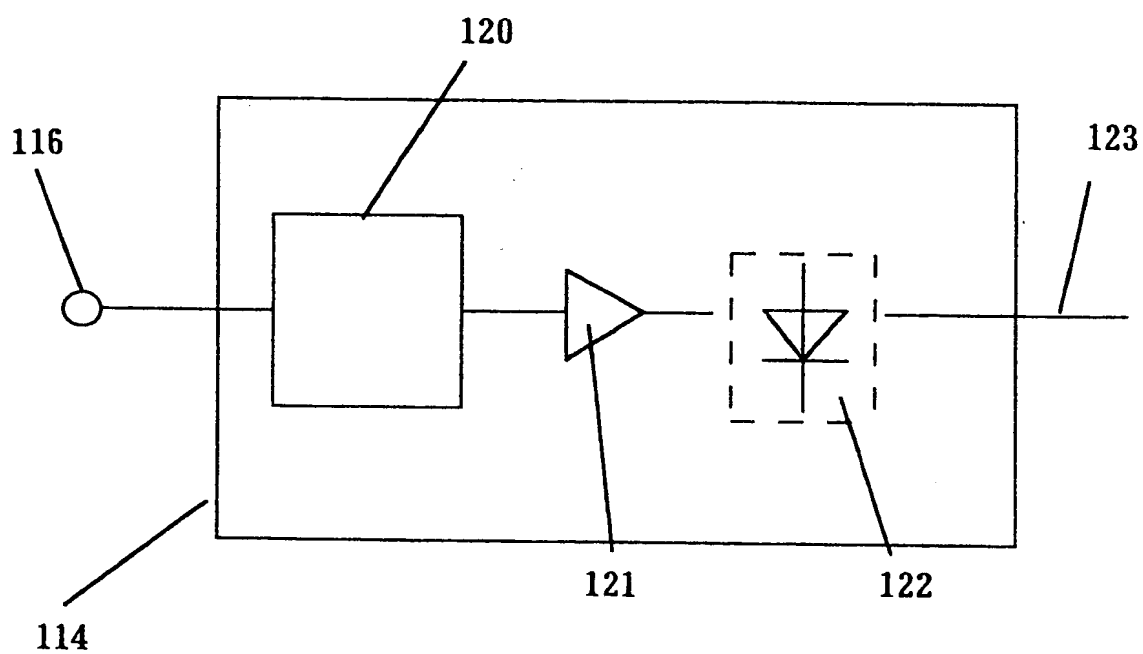
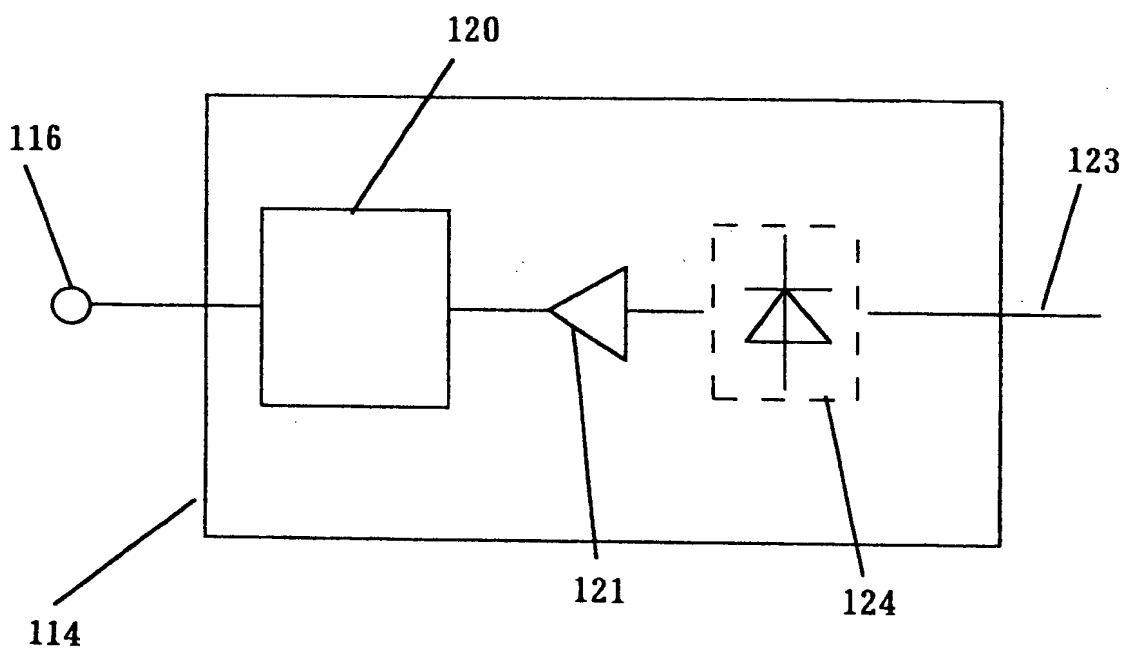




FIG. 47



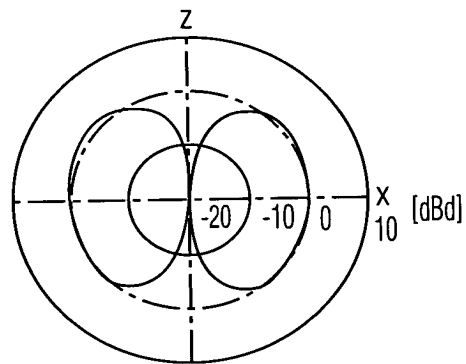
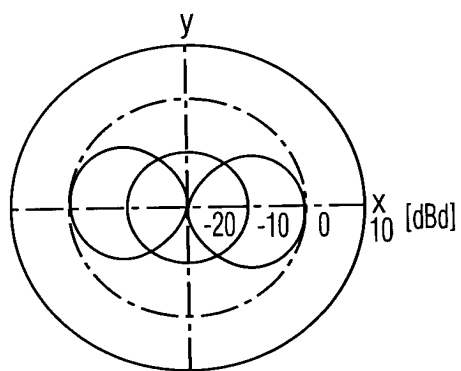
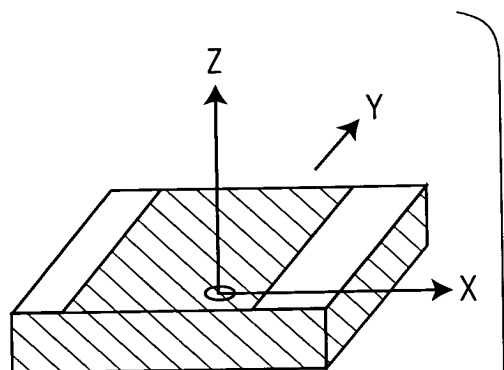


FIG. 48

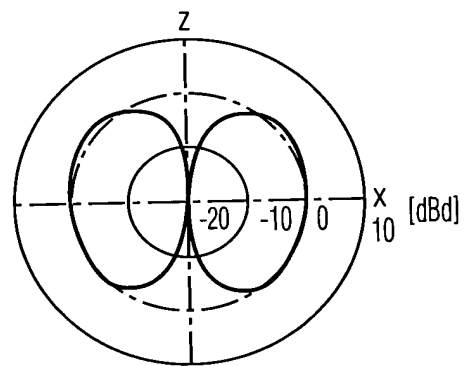
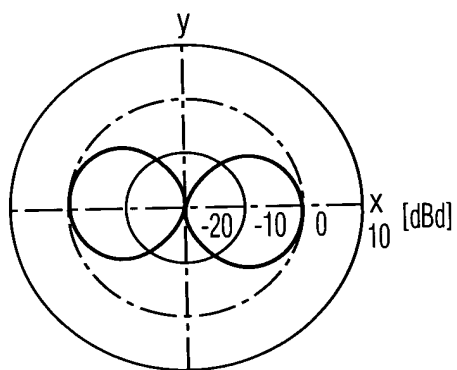
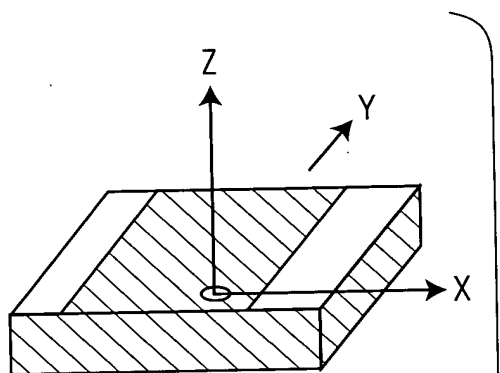
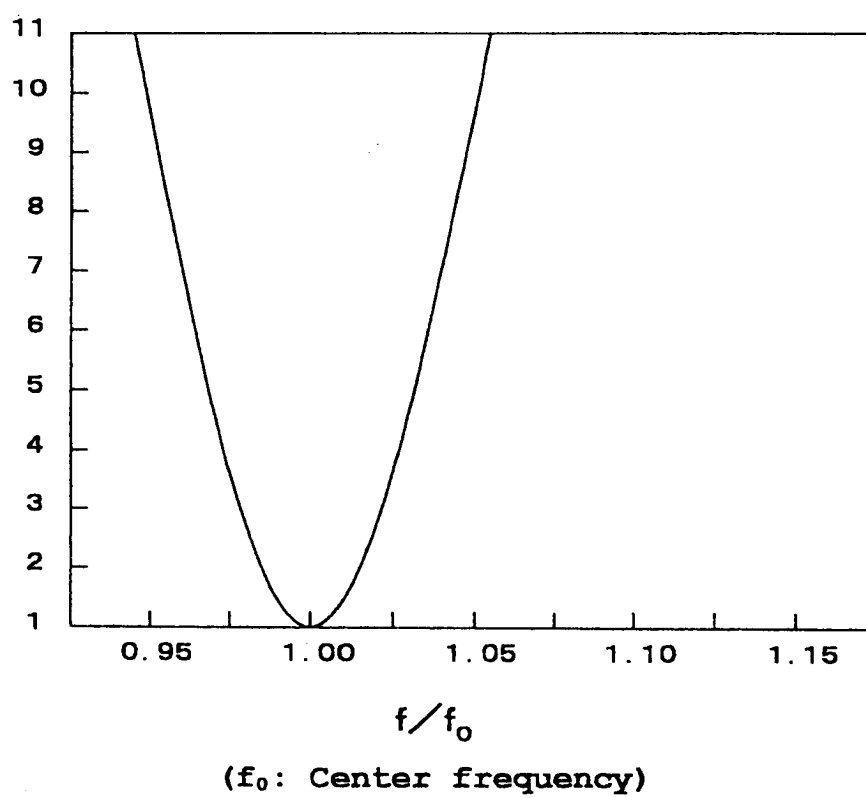


FIG. 49



FIG. 50



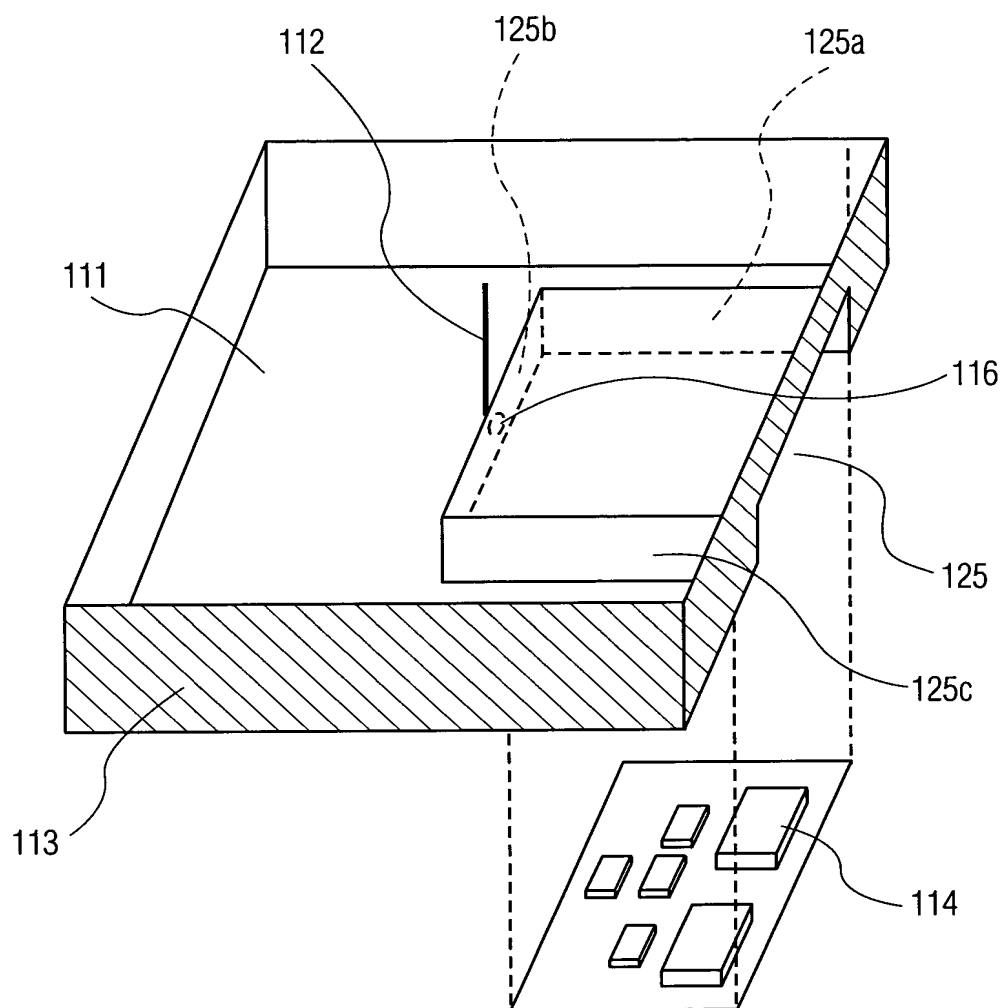


FIG. 51

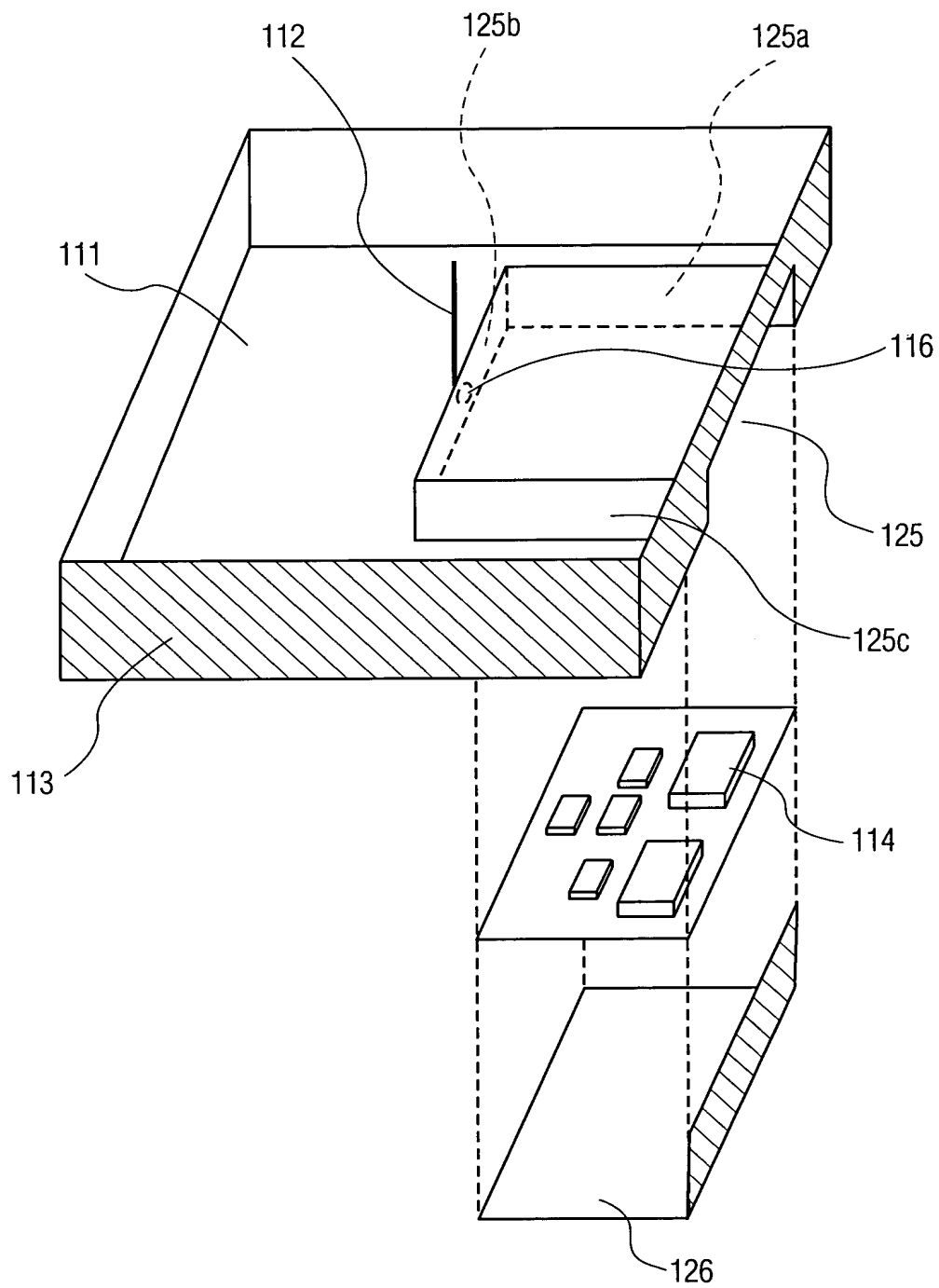


FIG. 52

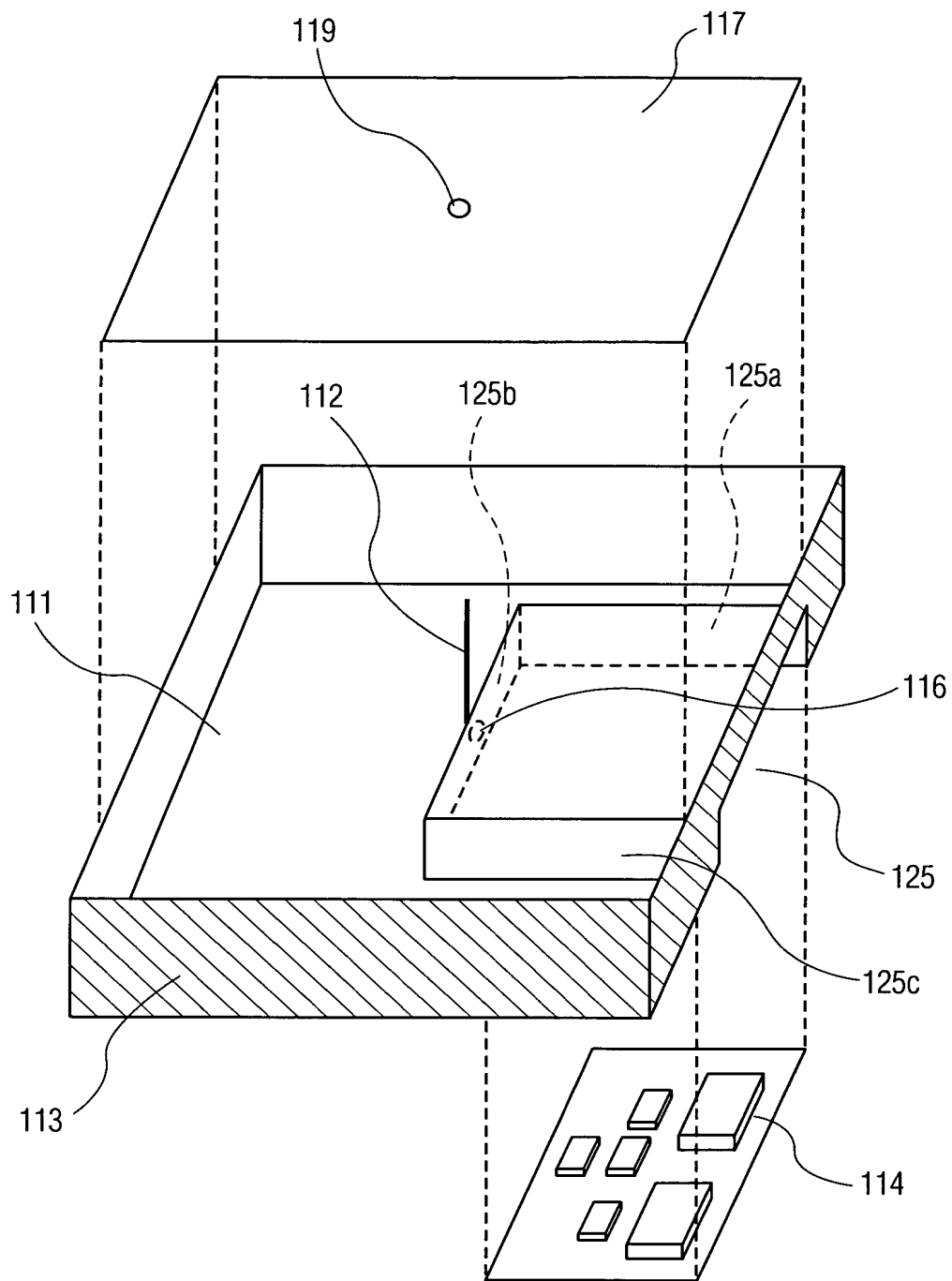


FIG. 53

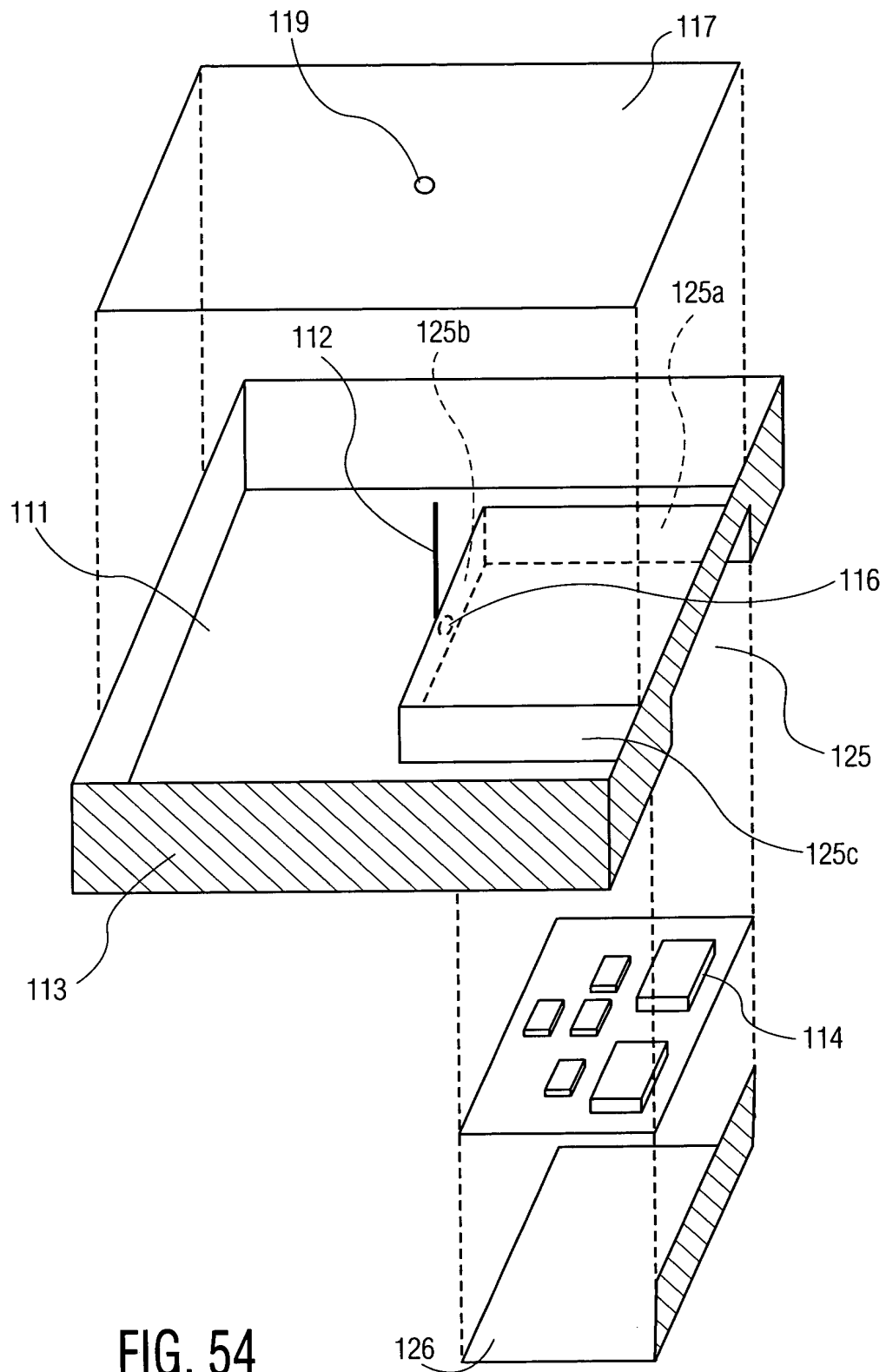


FIG. 54



FIG. 55

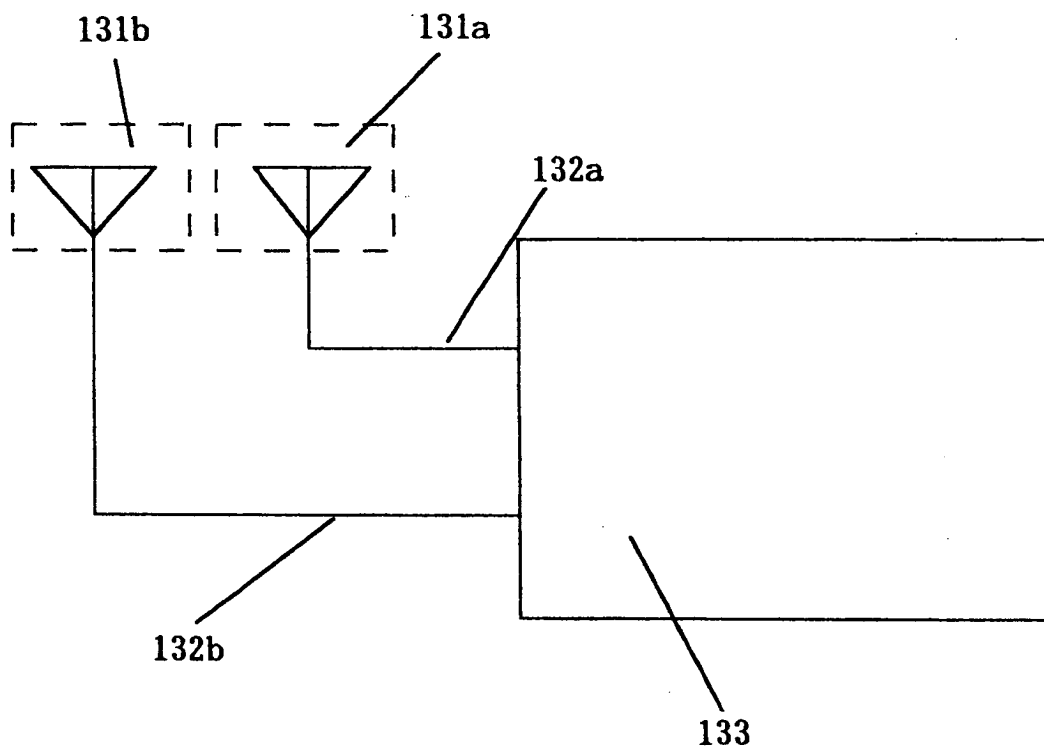
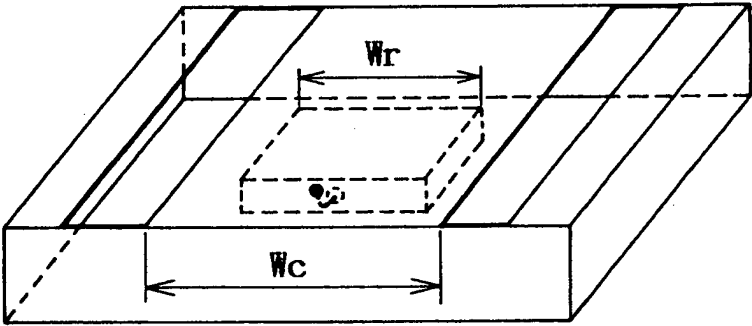
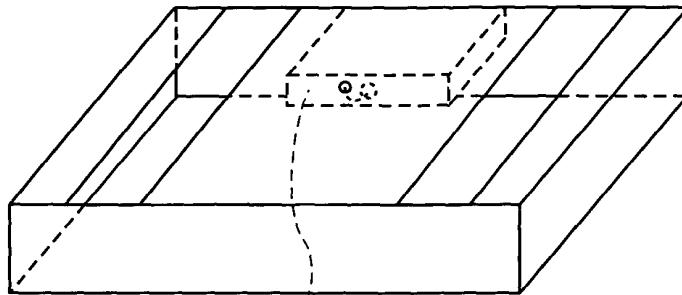




FIG. 56

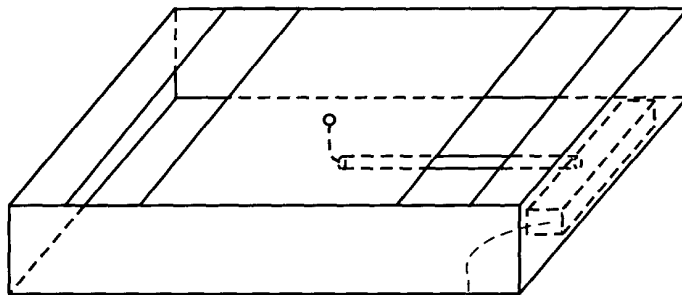


$W_r < W_c$



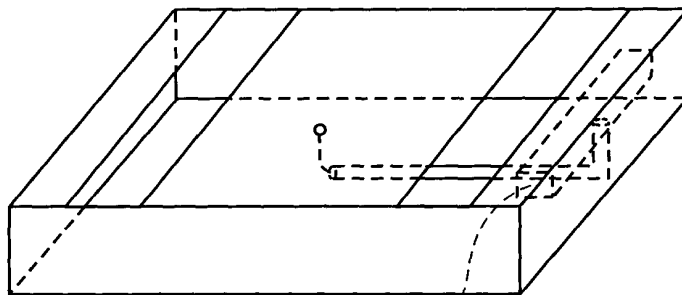
CIRCUIT ON A METAL PLATE IN THE CENTER OF THE UPPER
SURFACE OF A METAL CABINET

FIG. 57A



CIRCUIT ON A BOTTOM METAL PLATE UNDER A METAL PLATE
IN THE EDGE SIDE OF THE UPPER SURFACE OF A METAL CABINET

FIG. 57B



CIRCUIT ON A METAL PLATE (INSIDE A CABINET) IN THE
EDGE SIDE OF THE UPPER SURFACE OF THE METAL CABINET

FIG. 57C

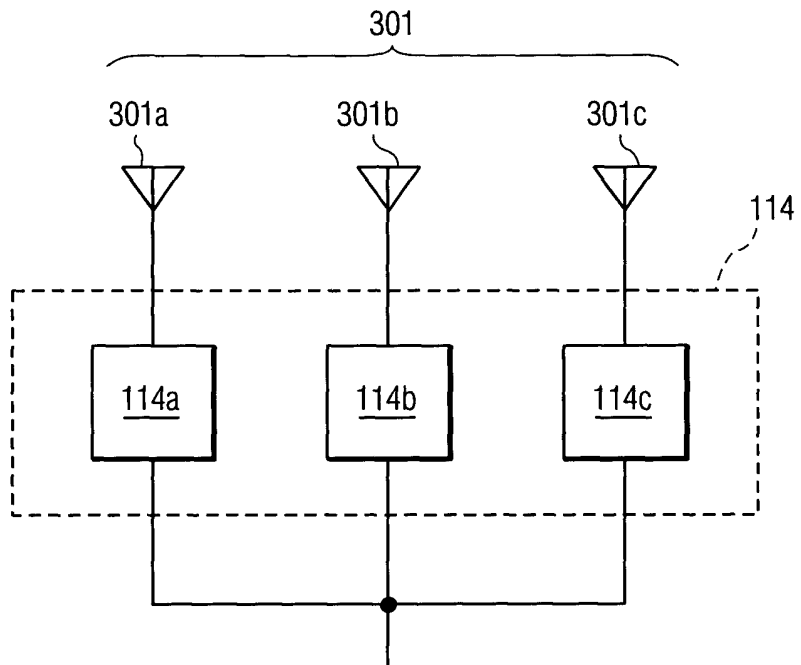


FIG. 58

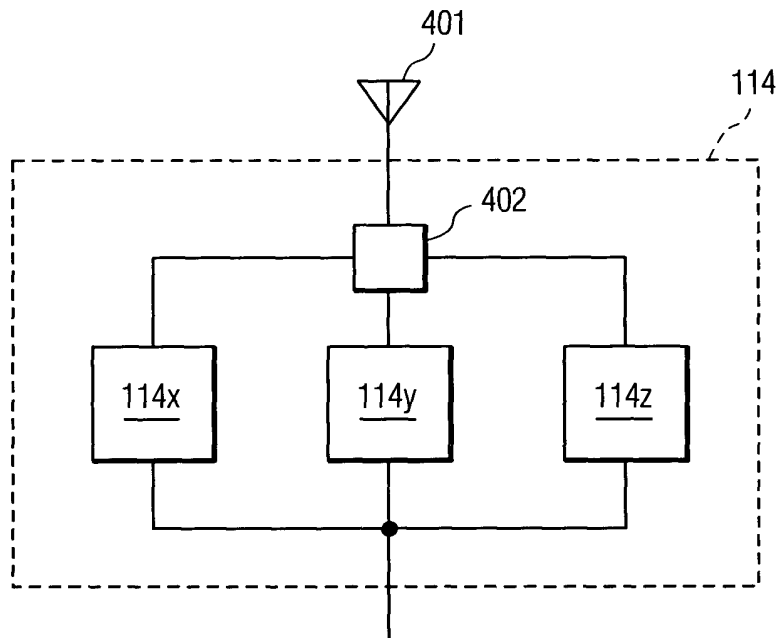


FIG. 59

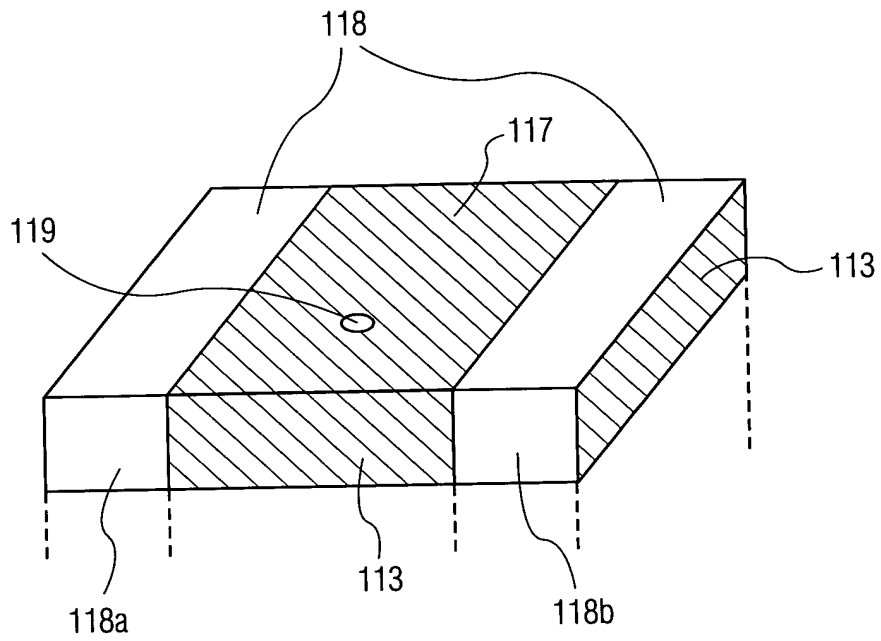


FIG. 60A

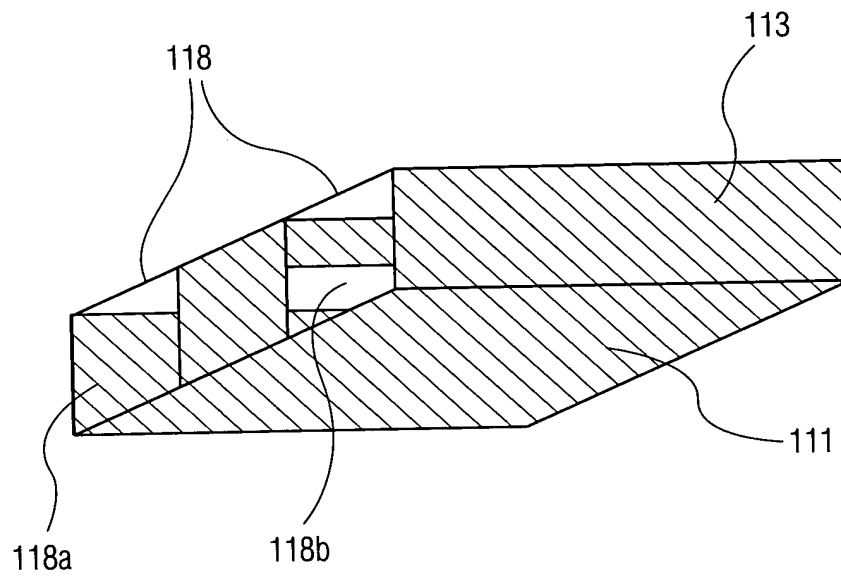


FIG. 60B

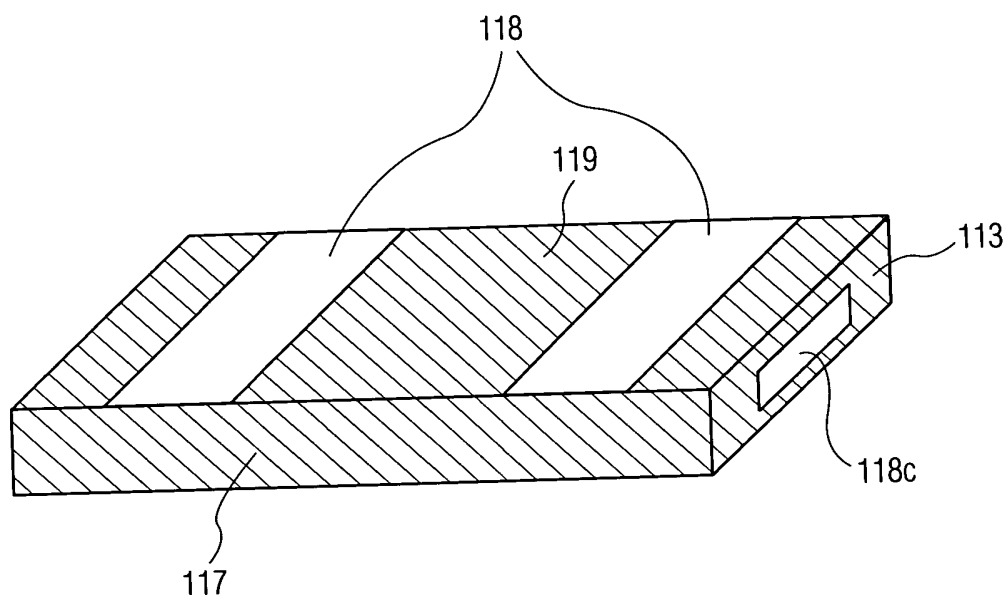


FIG. 60C